



LHCの最新結果

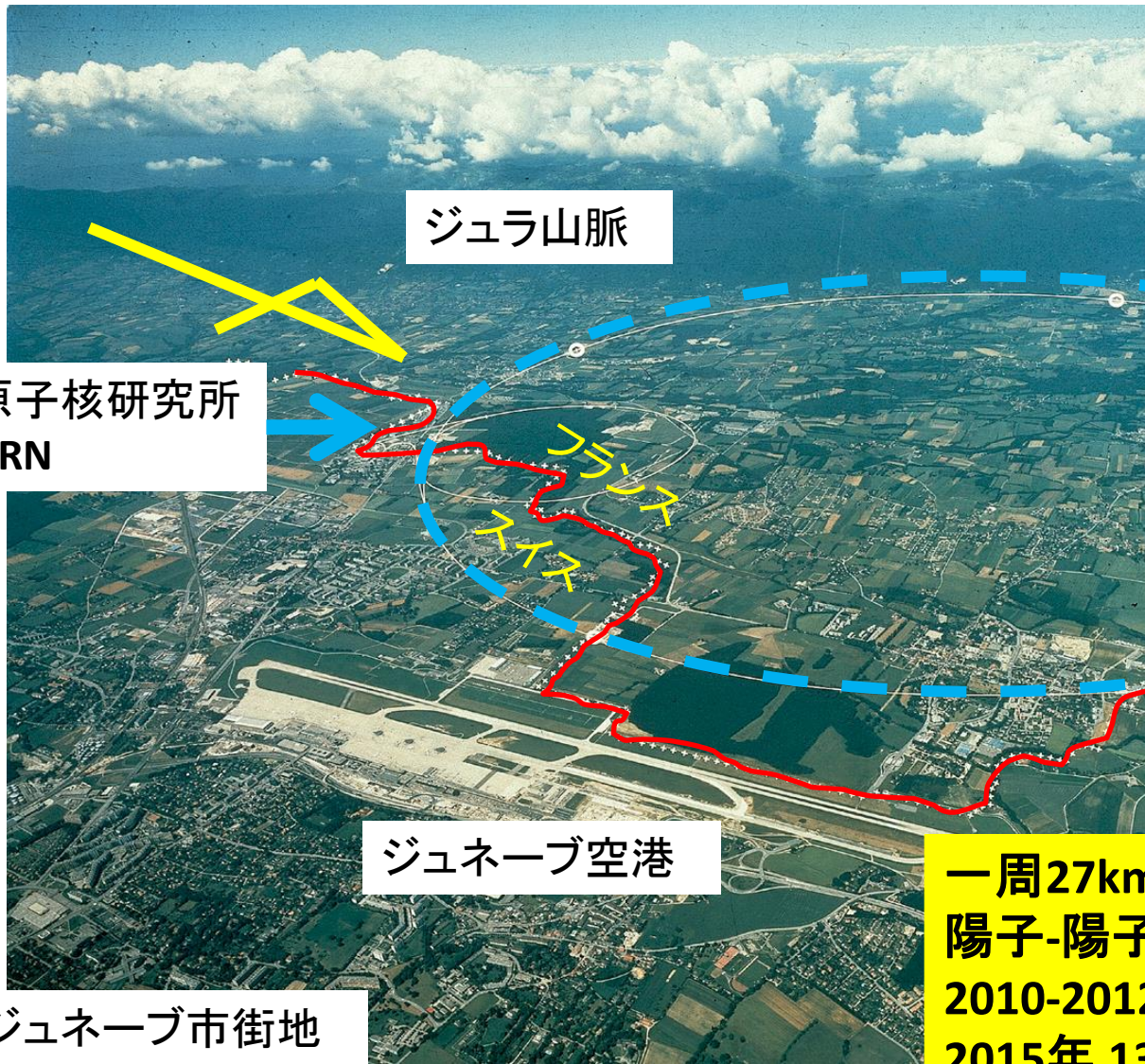
*Koji Nakamura (KEK)
on behalf of ATLAS&CMS collaboration*



Contents

- 13TeVで再開した今年度の状況
 - 加速器の様子
- LHC 13TeVでの最新結果
 - Higgs粒子の再探索
 - VV や $\gamma\gamma$ に見つかった怪しい兆候
 - SUSY/Exotic の探索
- (来年度のLHCともっと先の話)

Large Hadron Collider (LHC)



ジュラ山脈

欧州原子核研究所
CERN

ジュネーブ空港

ジュネーブ市街地



この辺



トンネル

一周27km 地下100mのトンネル
陽子-陽子衝突型加速器
2010-2012年 最大8TeV
2015年 13TeV

LHC and ATLAS/CMS experiment

Lac Lemman

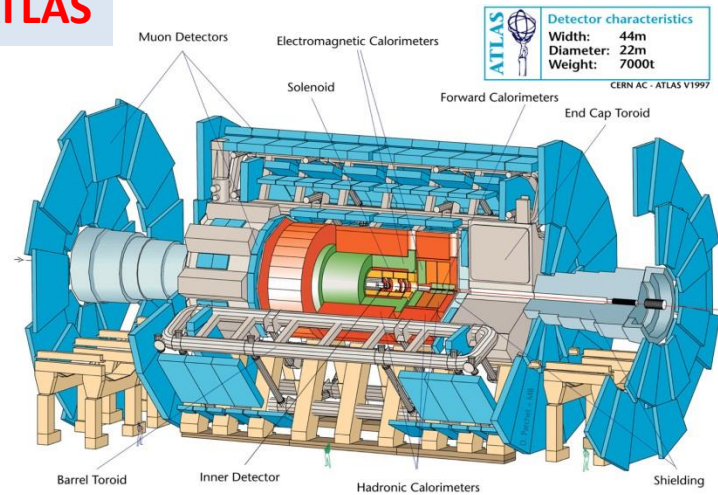
Geneva Air port



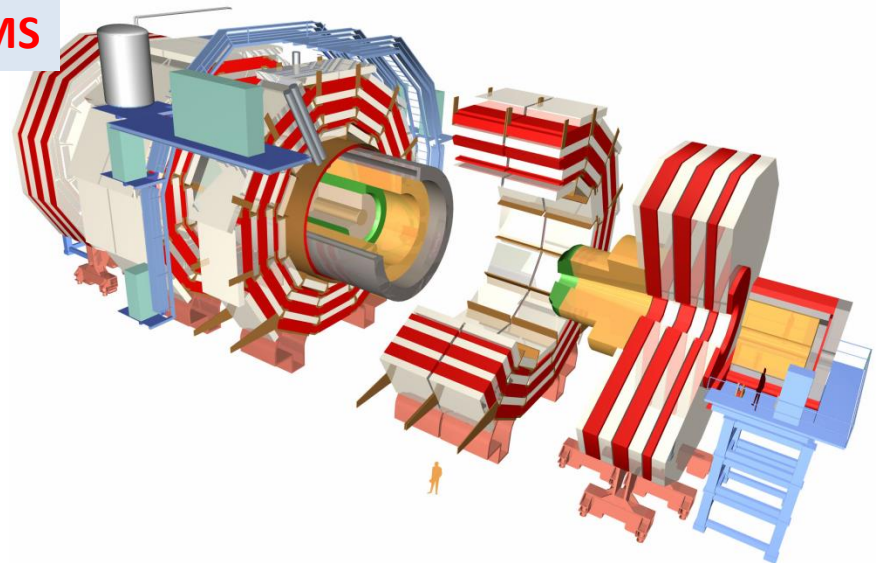
Thanks to the operation
of LHC, ATLAS & CMS recorded :

5fb^{-1} 7TeV data
 20fb^{-1} 8TeV data
 4fb^{-1} 13TeV data
27km

ATLAS



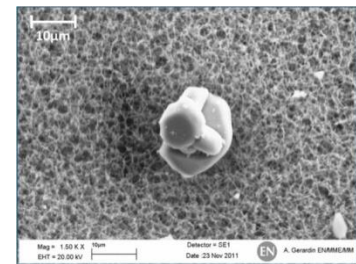
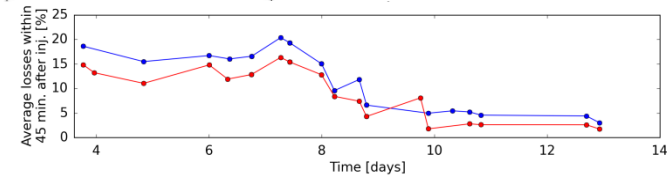
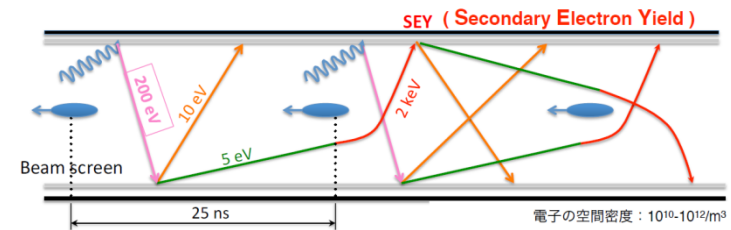
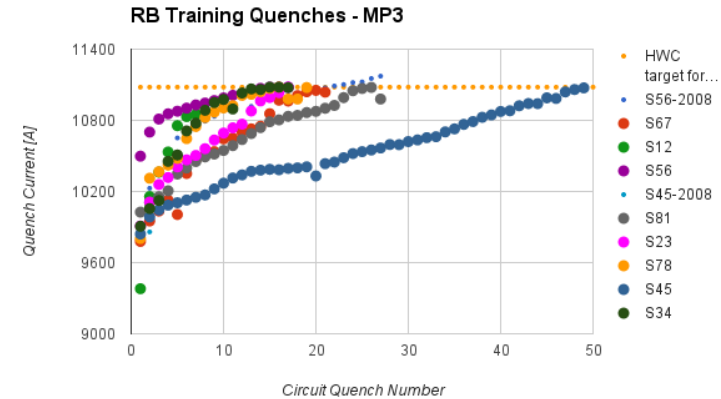
CMS



13TeVで再開した今年度の状況

2015年の運転

- 重心系エネルギーを13TeV (6.5TeV x 6.5TeV)へ
 - Dipoleマグネットのクエンチトレーニング
 - 50回近く必要なセクター有
 - 13TeV衝突のStartが遅れる原因
- Luminosityを上げるのに苦戦
 - Electron Cloud 問題
 - Scrubbingが必要だった。
 - Unidentified Falling Object (UFO)

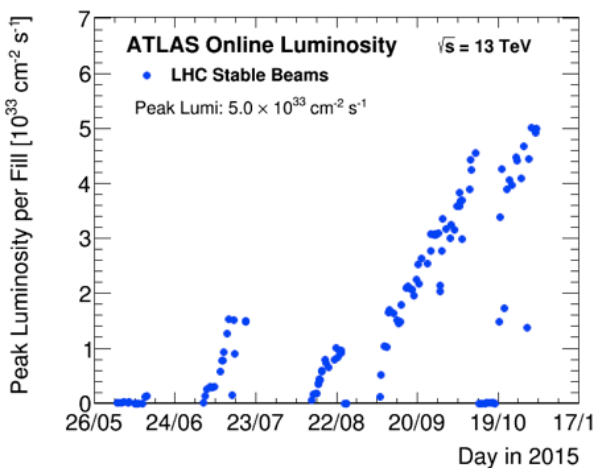
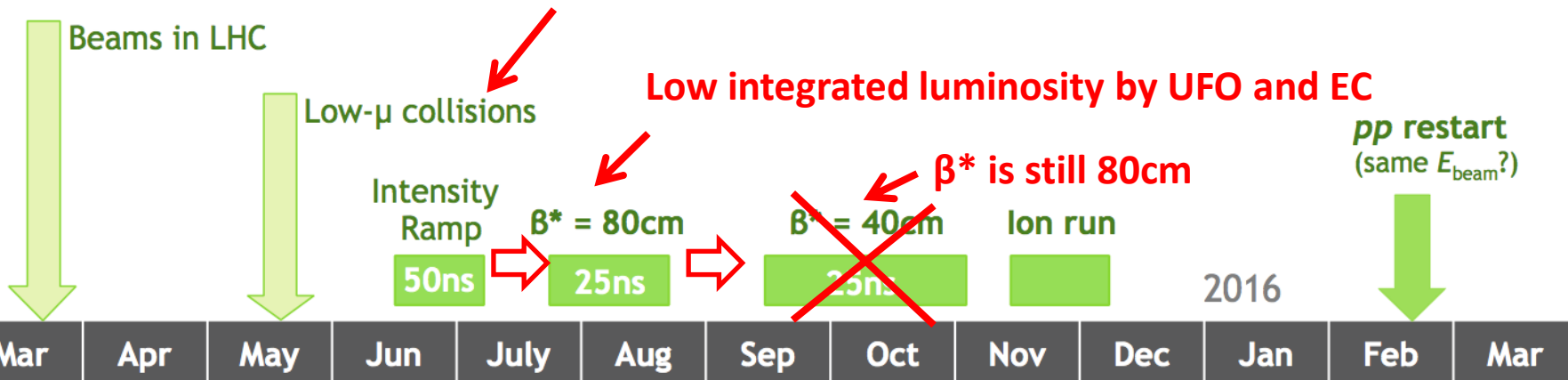


2015年の運転

- 2015年の予定 (2015年3月時) → 実際は...

Delay due to LHC magnet issue

Low integrated luminosity by UFO and EC

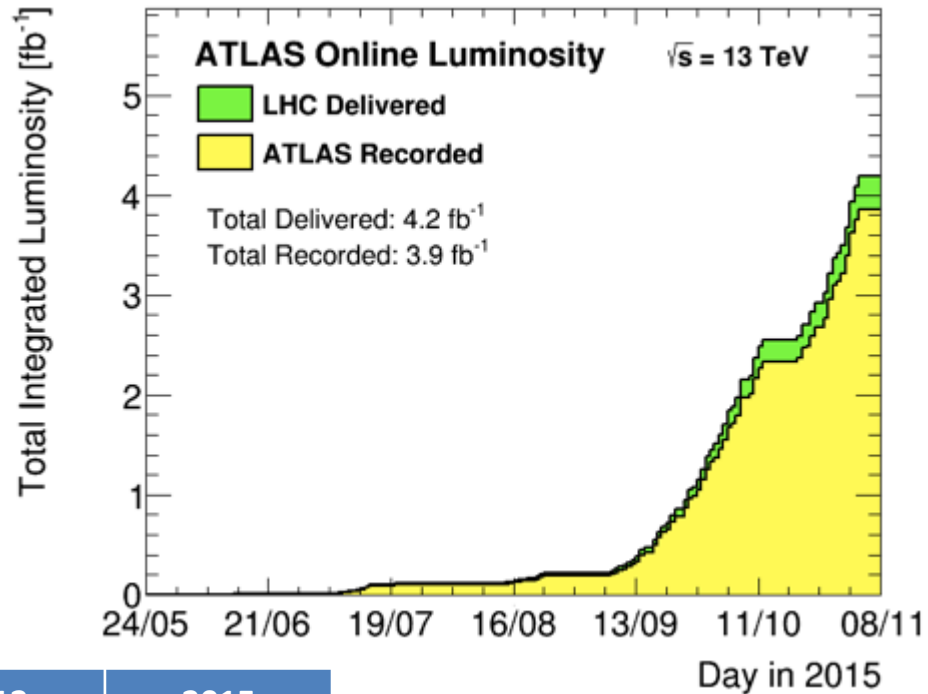


5月	6月	7-8月	9-11月	11-12月
Low-μ run	50ns beam β*=80cm	25ns beam β*=80cm	25ns beam β*=40cm	Heavy Ion
(1fb⁻¹)	1fb⁻¹	2-5fb⁻¹ 0.2fb ⁻¹	5fb⁻¹ 4fb ⁻¹	

2015年内で合計 ~~10fb⁻¹~~ **4.2fb⁻¹**

2015年の運転

- 最終的に
 - ATLAS で 3.9fb^{-1} レコード
 - 3.4fb^{-1} 程度が物理解析に使用可能**

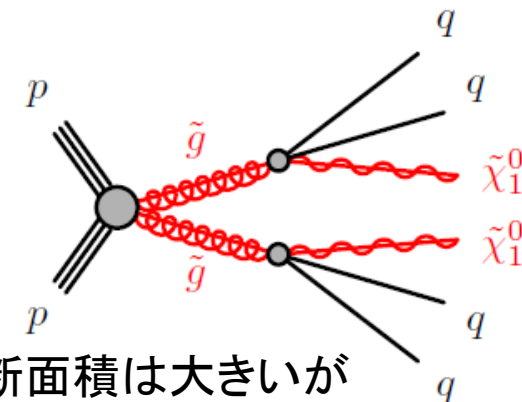
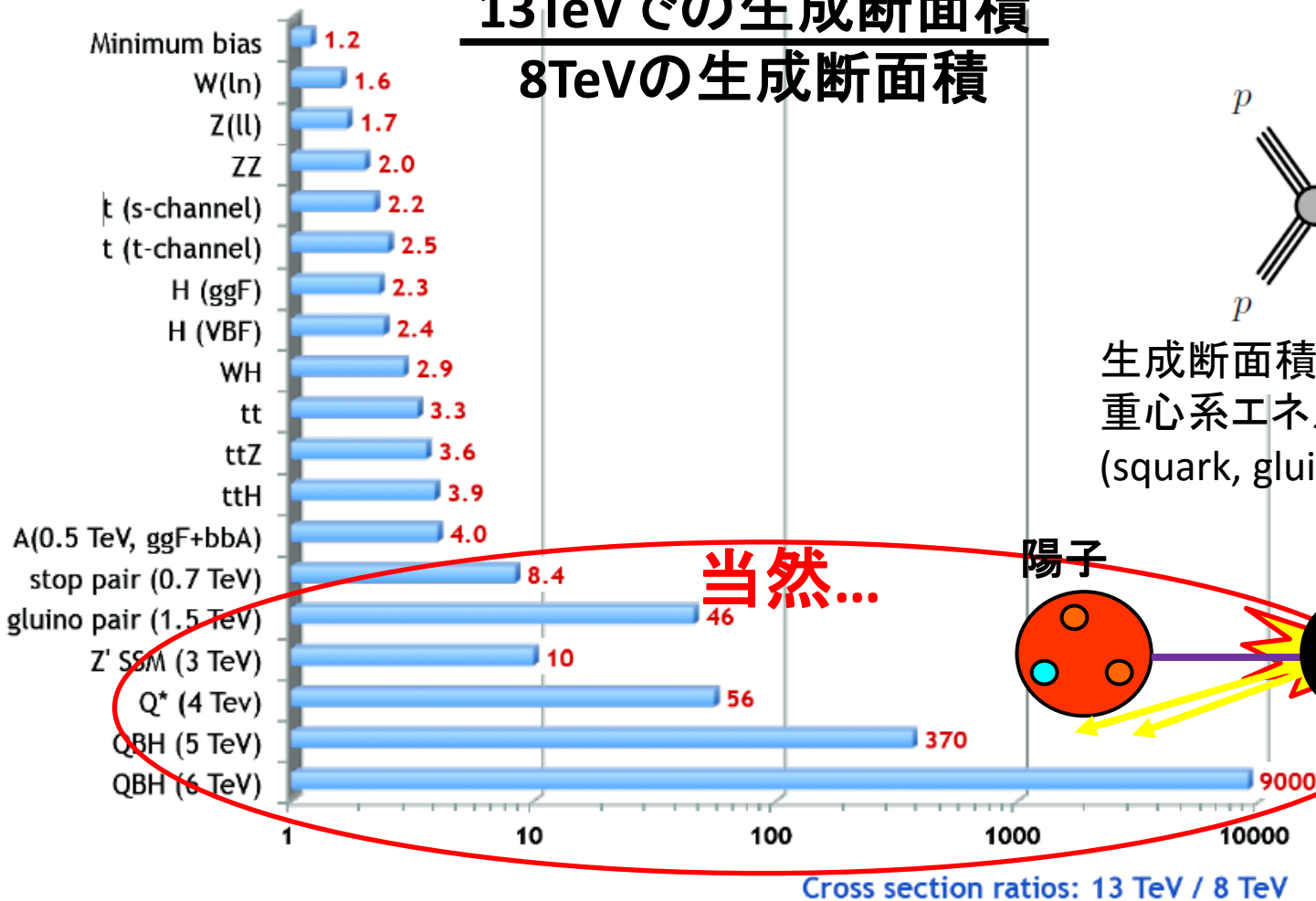


	Nominal	2012	2015
energy [TeV]	7	4	6.5
bunch spacing [ns]	25	50	25
beta* [cm] (crossing angle [urad])	55 (285)	60 (290)	80 (290)
max. number of bunches	2808	1380	2244/2232
max. stored energy [MJ]	362	140	270
peak luminosity [$10^{34} \text{ cm}^{-2}\text{s}^{-1}$] in IP1/5	1.0	>0.7	~0.5

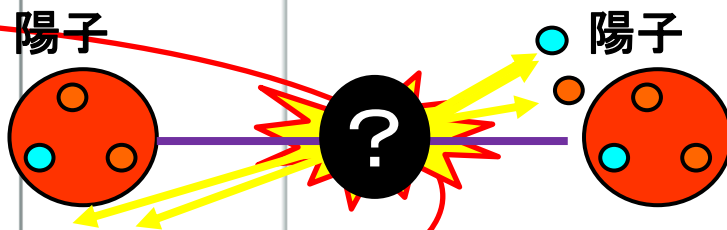
13TeVの恩恵

- エネルギーを8TeVから13(14)TeVにあげる

13TeVでの生成断面積
8TeVの生成断面積



生成断面積は大きい
重心系エネルギーが足りなかった
(squark, gluino など)



当然...

13TeVの恩恵

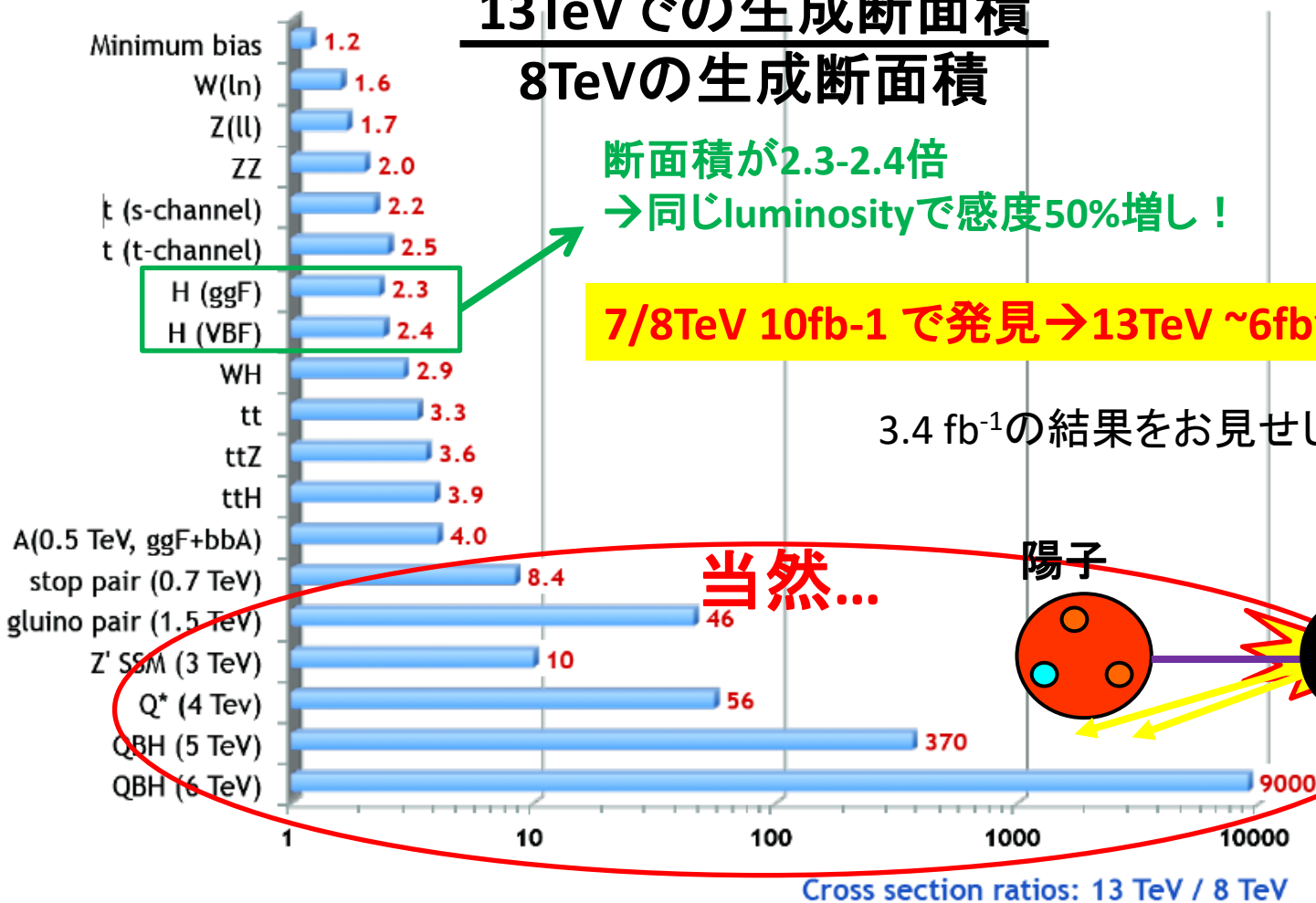
- エネルギーを8TeVから13(14)TeVにあげる

13TeVでの生成断面積
8TeVの生成断面積

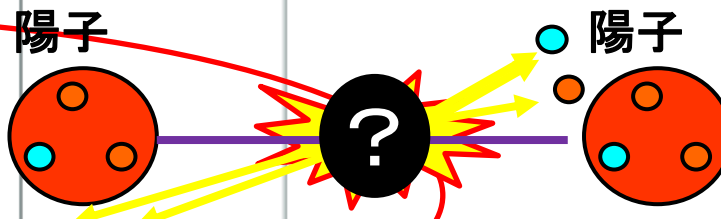
断面積が2.3-2.4倍
→同じluminosityで感度50%増し！

7/8TeV 10fb⁻¹ で発見 → 13TeV ~6fb⁻¹ほど必要？！

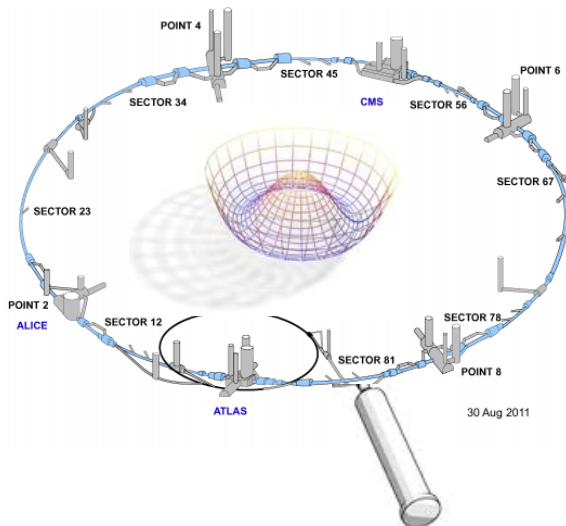
3.4 fb⁻¹の結果をお見せします。



当然...



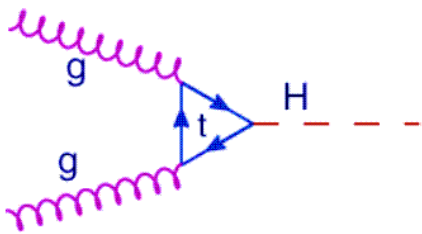
LHC 13TeVでの最新結果



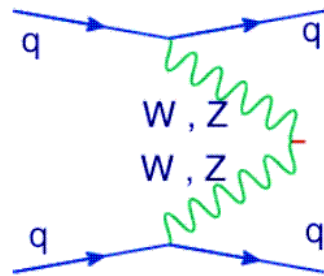
- Higgs粒子の再探索
- VV や $\gamma\gamma$ に見つかった怪しい兆候
- SUSY/Exotic の探索

Higgs production and decay @ LHC

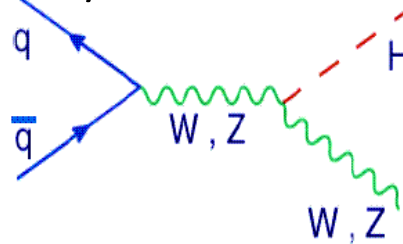
Gluon Fusion(ggF)



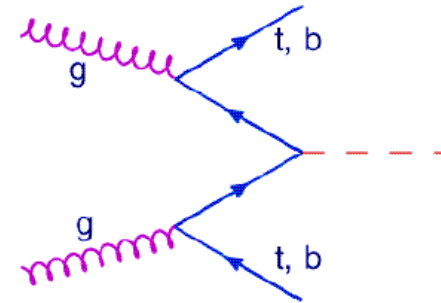
Vector Boson Fusion



W/Z Associated



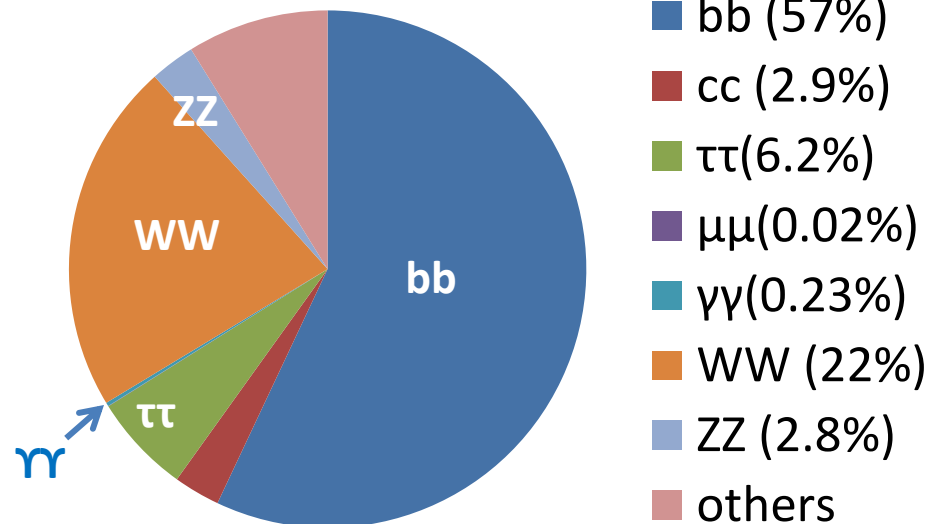
tt/bb Associated



Process	8TeV σ [pb]	14TeV σ [pb]
Gluon Fusion	19.1	49.9
Vector Boson Fusion	1.57	4.18
W/Z Associated	1.11	2.39
tt/bb Associated	0.128	0.611

8TeV @125.5GeV
14TeV @125GeV

@125.5GeV



まず、Run1のおさらい

Channel	Signal strength [μ]		Signal significance [σ]	
	ATLAS	CMS	ATLAS	CMS
from results in this paper (Section 5.2)				
$H \rightarrow \gamma\gamma$	$1.15^{+0.27}_{-0.25}$ (+0.26, -0.24)	$1.12^{+0.25}_{-0.23}$ (+0.24, -0.22)	5.0 (4.6)	5.6 (5.1)
$H \rightarrow ZZ \rightarrow 4\ell$	$1.51^{+0.39}_{-0.34}$ (+0.33, -0.27)	$1.05^{+0.32}_{-0.27}$ (+0.31, -0.26)	6.6 (5.5)	7.0 (6.8)
$H \rightarrow WW$	$1.23^{+0.23}_{-0.21}$ (+0.21, -0.20)	$0.91^{+0.24}_{-0.21}$ (+0.23, -0.20)	6.8 (5.8)	4.8 (5.6)
$H \rightarrow \tau\tau$	$1.41^{+0.40}_{-0.35}$ (+0.37, -0.33)	$0.89^{+0.31}_{-0.28}$ (+0.31, -0.29)	4.4 (3.3)	3.4 (3.7)
$H \rightarrow bb$	$0.62^{+0.37}_{-0.36}$ (+0.39, -0.37)	$0.81^{+0.45}_{-0.42}$ (+0.45, -0.43)	1.7 (2.7)	2.0 (2.5)
$H \rightarrow \mu\mu$	-0.7 ± 3.6 (± 3.6)	0.8 ± 3.5 (± 3.5)		
$t\bar{t}H$ production	$1.9^{+0.8}_{-0.7}$ (+0.72, -0.66)	$2.9^{+1.0}_{-0.9}$ (+0.88, -0.80)	2.7 (1.6)	3.6 (1.3)

- Classify the Higgs search/measurement study by decay modes.
- 5 σ observation of $\gamma\gamma$, ZZ and WW channel.**
- Need more data for H \rightarrow bb and gg \rightarrow ttH production.**
- Longer time project for H \rightarrow $\mu\mu$ (HL-LHC?)

Results Production and Decay (sensitivity)

After ATLAS & CMS combination !

Production process	Observed Significance(σ)	Expected Significance(σ)
VBF	5.4	4.2
WH	2.4	
ZH	2.3	
VH	3.5	
ttH	4.4	
Decay channels		
H $\rightarrow\tau\tau$	5.5	
H $\rightarrow bb$	2.6	

Evidence!

u \bar{d} W^{*+} W^+ H X X

$WH \rightarrow XXXX$

Observation!

q q W/Z H q q

VBF H

Evidence!

g t \bar{t} H t X X

ttH $H \rightarrow XX$

Observation!

q q W/Z H q q τ τ

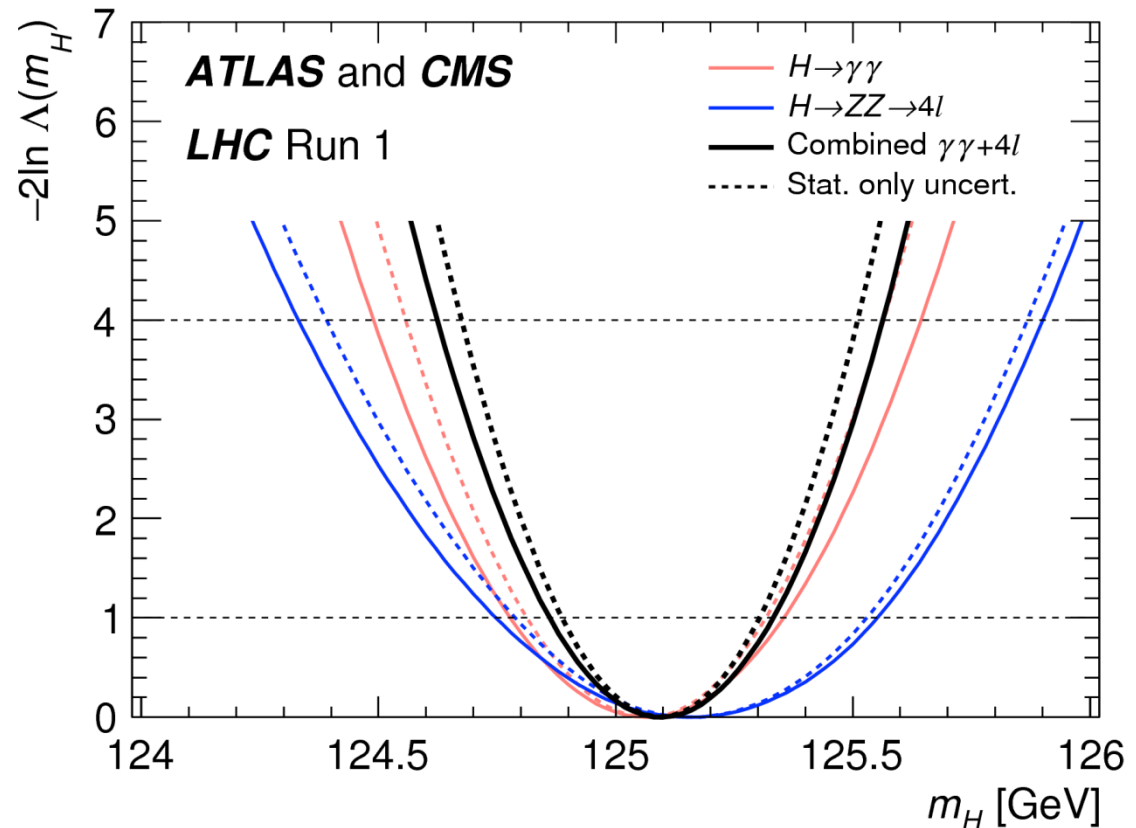
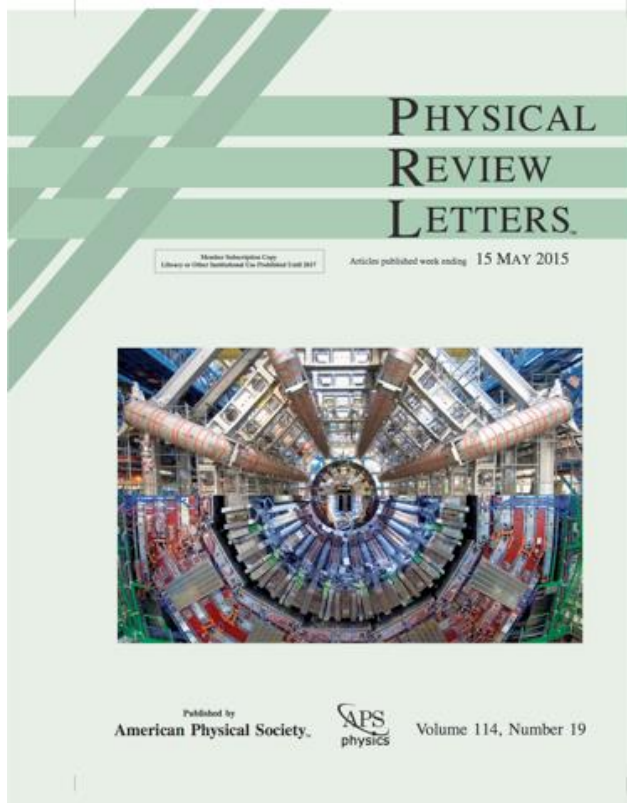
VBF $H \rightarrow \tau\tau$

Mass of observed Boson

- ATLAS & CMS has been published in March 2015

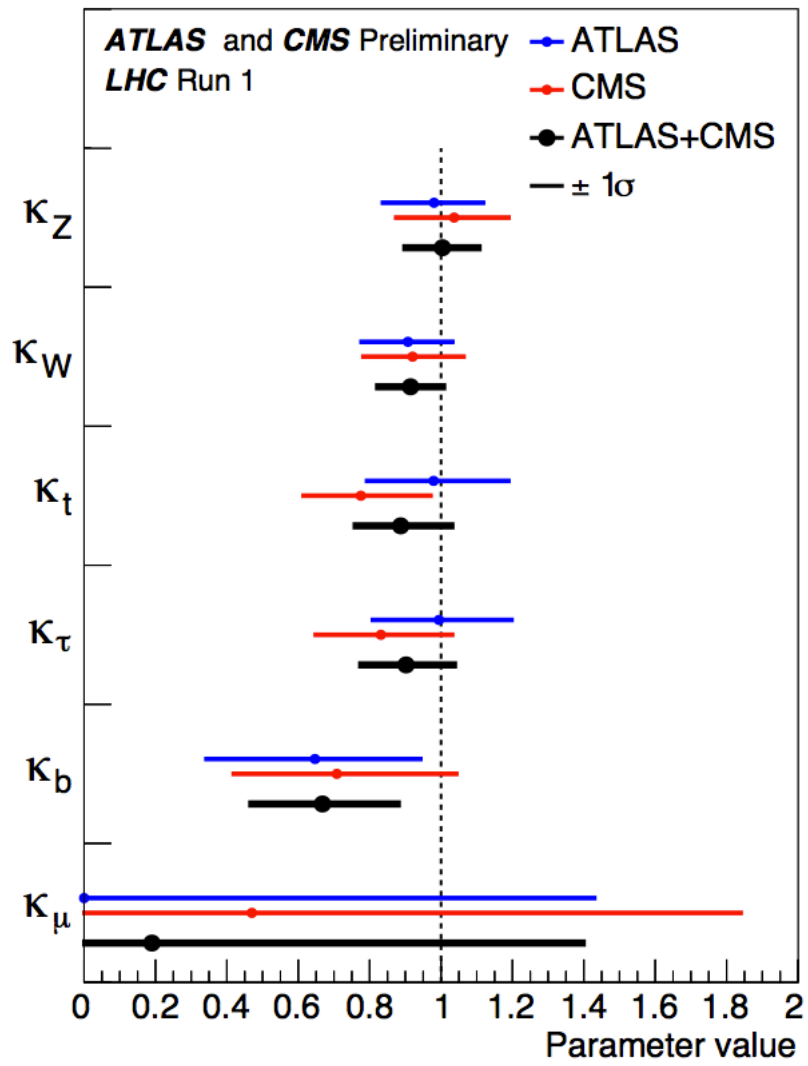
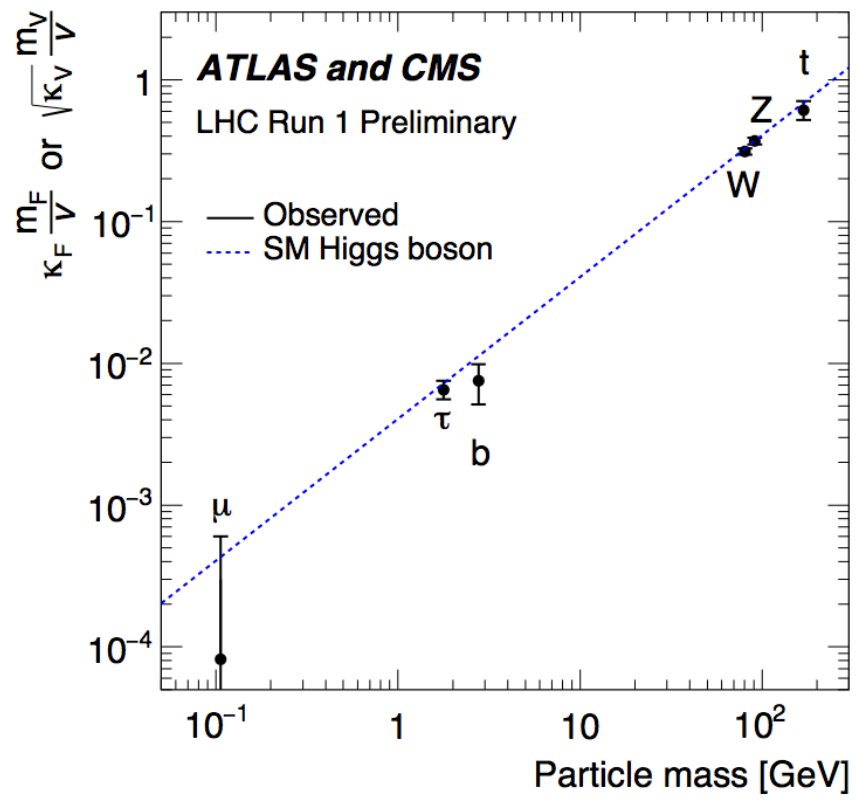
$$M_H = 125.09 \pm 0.24 \text{ GeV} [\pm 0.21 \text{ (stat.) } \pm 0.11 \text{ (syst.) }]$$

- This result was important to measure coupling deviation from SM



Constraints on Higgs coupling

- Assume only SM physics in loops, no invisible Higgs decays
- Fit for scaling parameters for Higgs coupling to : W, Z, b, t, τ, μ



Higgsの前に... Top Quark 再発見

Top quark対生成

Dilepton

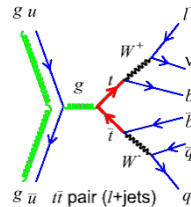
$$\sigma_{t\bar{t}} = 803 \pm 7 \text{ (stat)} \pm 27 \text{ (syst)} \pm 45 \text{ (lumi)} \pm 12 \text{ (beam)} \text{ pb}$$

$$\sigma_{t\bar{t}} = 749 \pm 57 \text{ (stat)} \pm 79 \text{ (syst)} \pm 74 \text{ (lumi)} \text{ pb}$$

Lepton+jets

$$\sigma_{t\bar{t}} = 817 \pm 13 \text{ (stat)} \pm 103 \text{ (syst)} \pm 88 \text{ (lumi)} \text{ pb}$$

Theory Prediction 832^{+40}_{-46} pb.



Top 単一生成

Top Quark

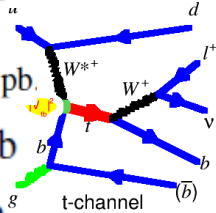
$$\sigma(tq) = 133 \pm 6 \text{ (stat.)} \pm 24 \text{ (syst.)} \pm 7 \text{ (lumi.)} \text{ pb}$$

Anti-Top Quark

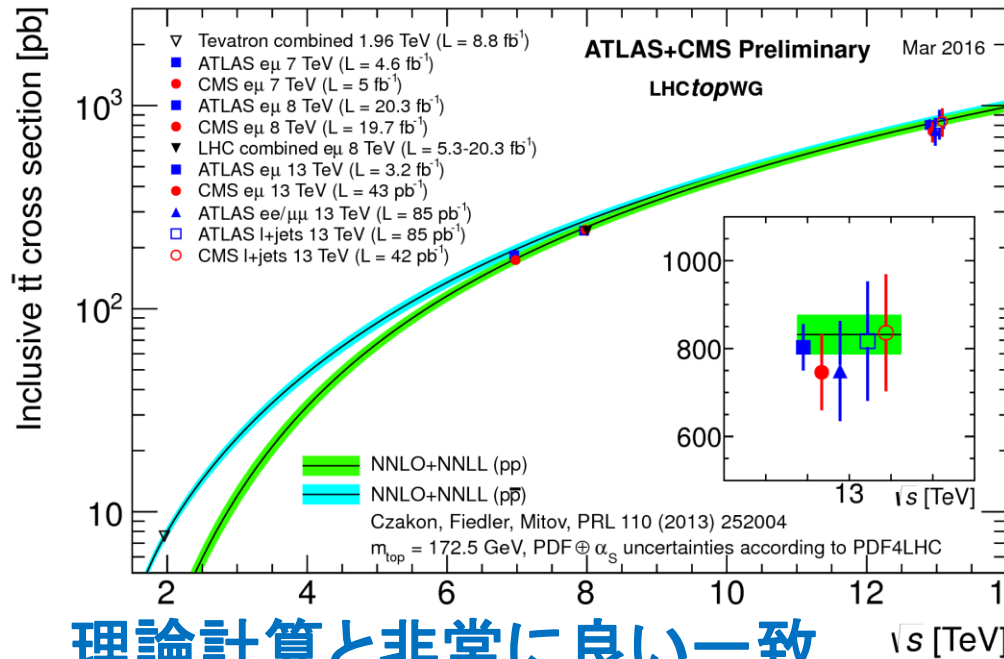
$$\sigma(\bar{t}q) = 96 \pm 5 \text{ (stat.)} \pm 23 \text{ (syst.)} \pm 5 \text{ (lumi.)} \text{ pb.}$$

$$\sigma_{tq} = 136.0^{+5.4}_{-4.6} \text{ pb}$$

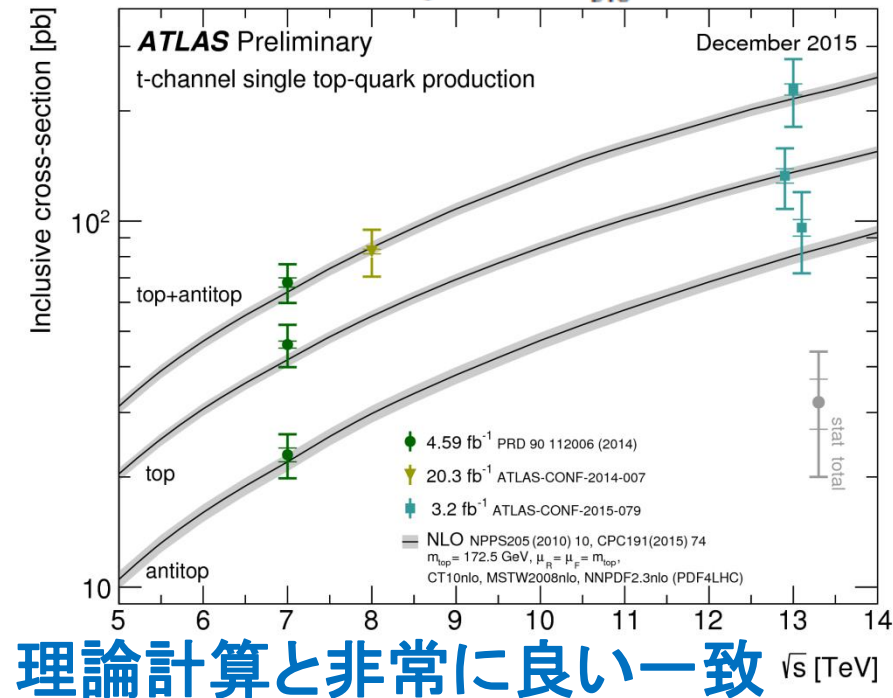
$$\sigma_{\bar{t}q} = 81.0^{+4.1}_{-3.6} \text{ pb}$$



Theory Prediction

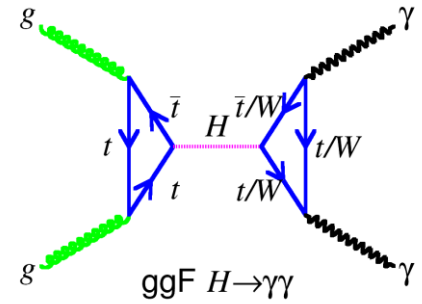


理論計算と非常に良い一致



理論計算と非常に良い一致

H → γγ



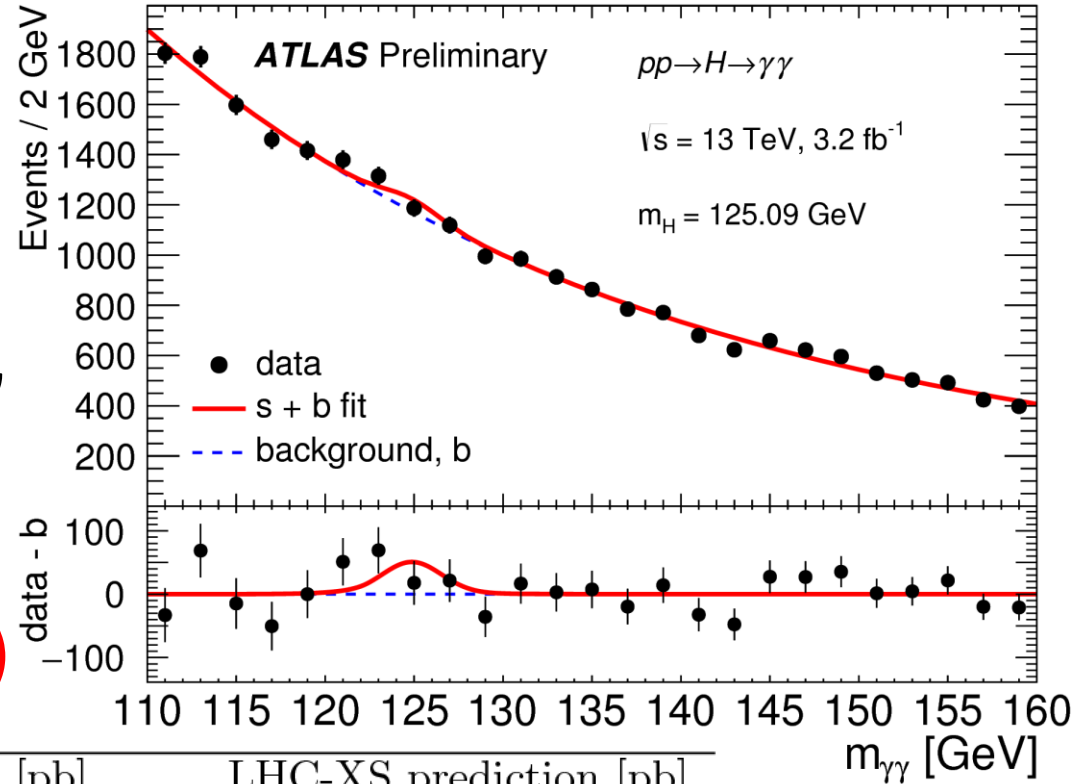
- 3.2fb-1データでdi-photon spectrumをみる

- SignalはCrystal Ball + Gaussian
- Backgroundは単調減少 Analytical function

- Backgroundの中でReal $\gamma\gamma$ の割合は78%

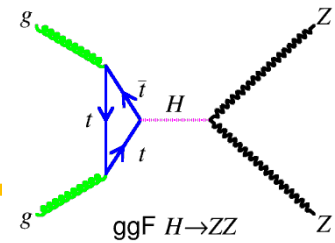
$N_{sig} = 113 \pm 74^{+43}_{-25}$

- 感度: $1.5\sigma(1.9\sigma)$ obs(exp)**

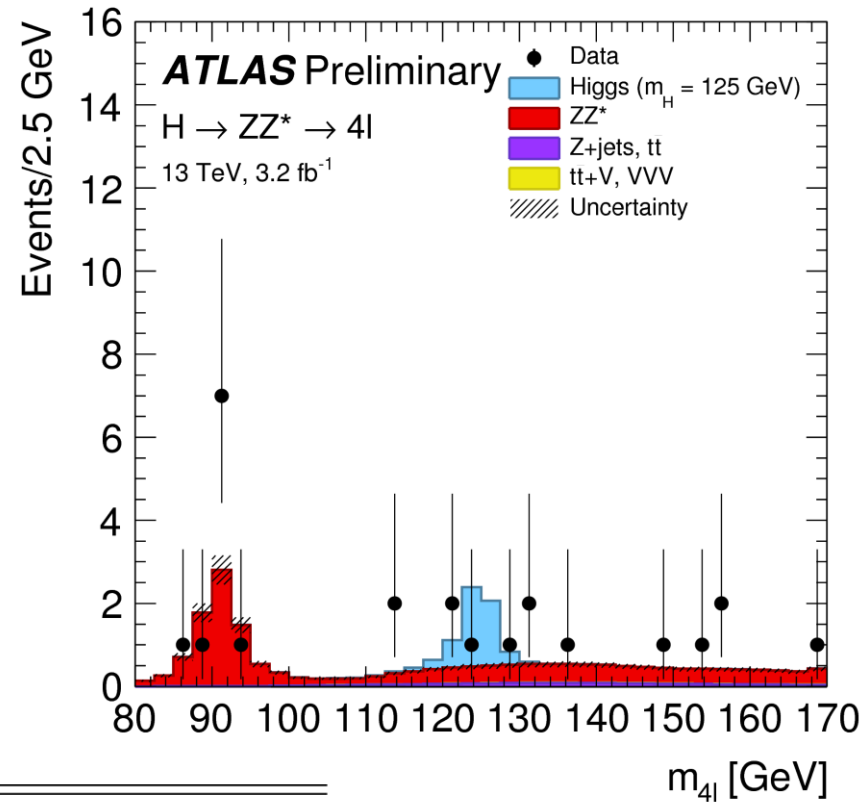


\sqrt{s}	Measured total cross section [pb]	LHC-XS prediction [pb]
7 TeV	35 ± 12 (stat.) ± 4 (syst.) ± 1 (lumi.)	17.5 ± 1.6
8 TeV	30.5 ± 7.1 (stat.) $^{+2.6}_{-2.5}$ (syst.) ± 0.9 (lumi.)	22.3 ± 2.0
13 TeV	40 ± 26 (stat.) $^{+16}_{-10}$ (syst.) ± 2 (lumi.)	$50.9^{+4.5}_{-4.4}$

H → ZZ(*)

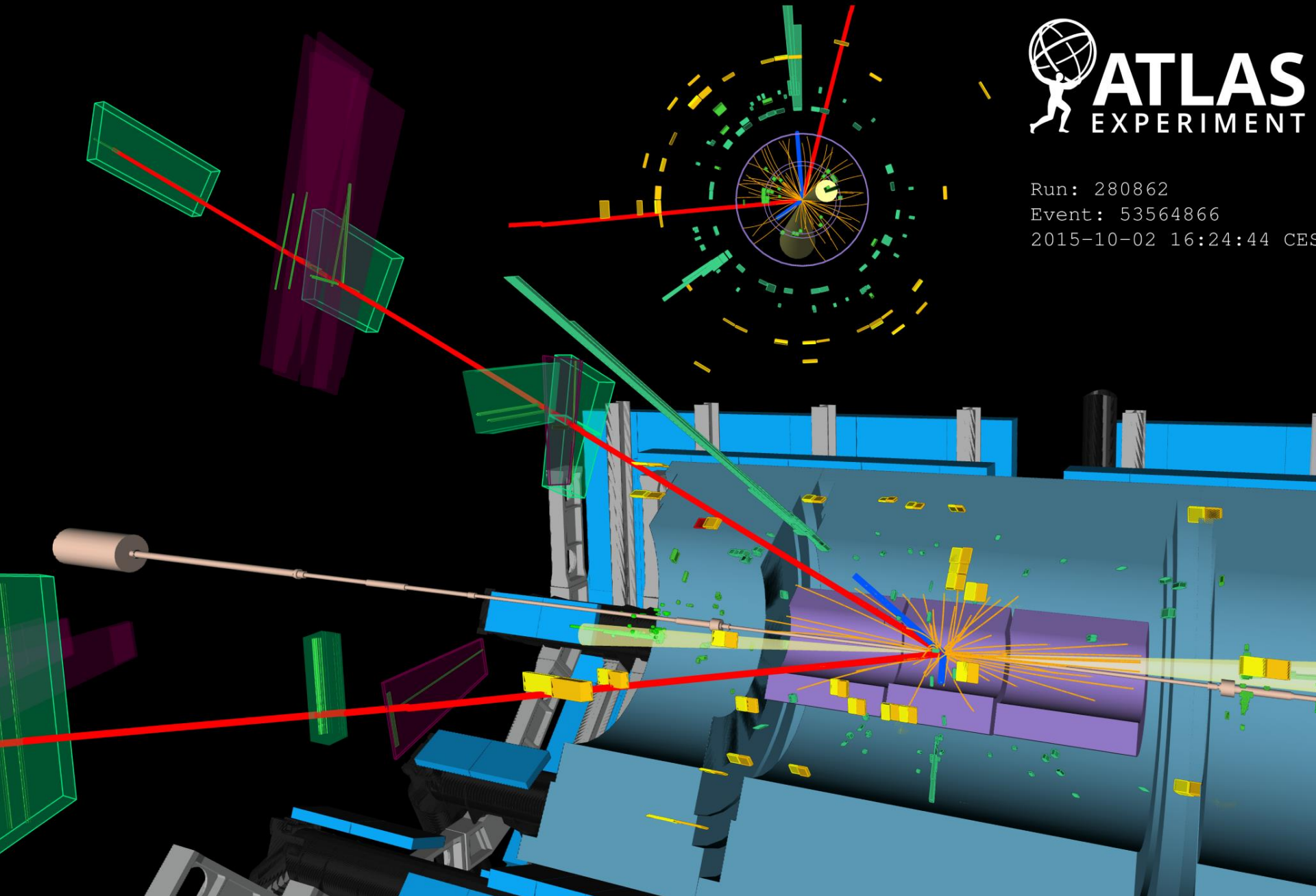


- m_{4l} spectrum
- $118 < m_{4l} < 129 \text{ GeV}$
 - Signal exp = 4.57 ± 0.54
 - Bkg exp = 2.1 ± 0.2
 - Observed 4 event.
- $N_{\text{sig}}^{\text{fit}} = 1^{+2.3}_{-1.5}$
- **感度 : 0.7σ (2.8σ) obs(exp)**

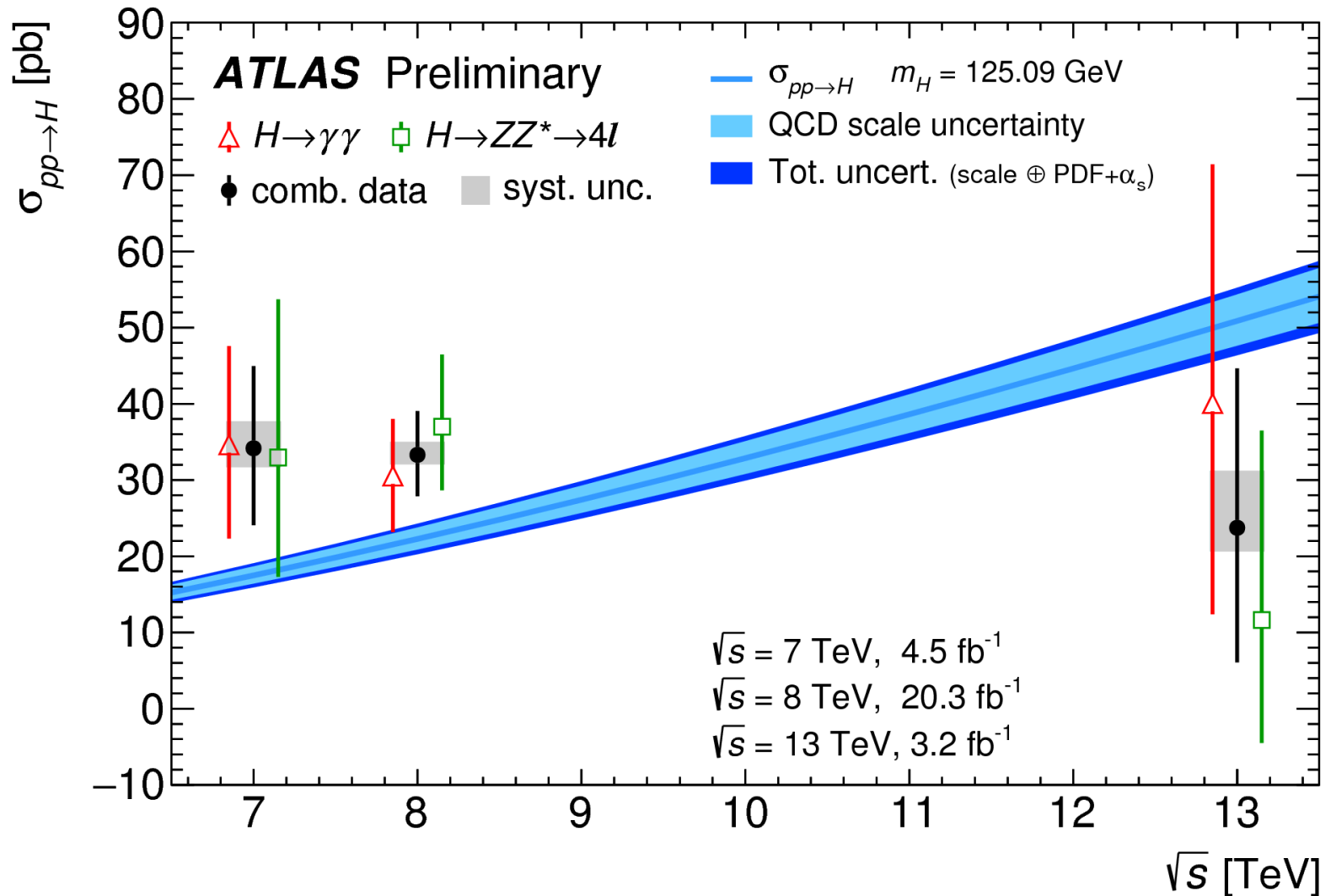


Data set [TeV]	N_s	σ_{4l}^{fid} [fb]	$\sigma_{\text{theory}}^{\text{fid}}$ [fb]	σ^{tot} [pb]	$\sigma_{\text{theory}}^{\text{tot}}$ [pb]
7	$4.5^{+2.8}_{-2.2}$	$1.9^{+1.2}_{-0.9}$	1.03 ± 0.11	33^{+21}_{-16}	17.5 ± 1.6
8	$24.0^{+6.0}_{-5.3}$	2.1 ± 0.5	1.29 ± 0.13	37^{+9}_{-8}	22.3 ± 2.0
13	$1.0^{+2.3}_{-1.5}$	$0.6^{+1.3}_{-0.9}$	2.74 ± 0.28	12^{+25}_{-16}	$50.9^{+4.5}_{-4.4}$

Run: 280862
Event: 53564866
2015-10-02 16:24:44 CES

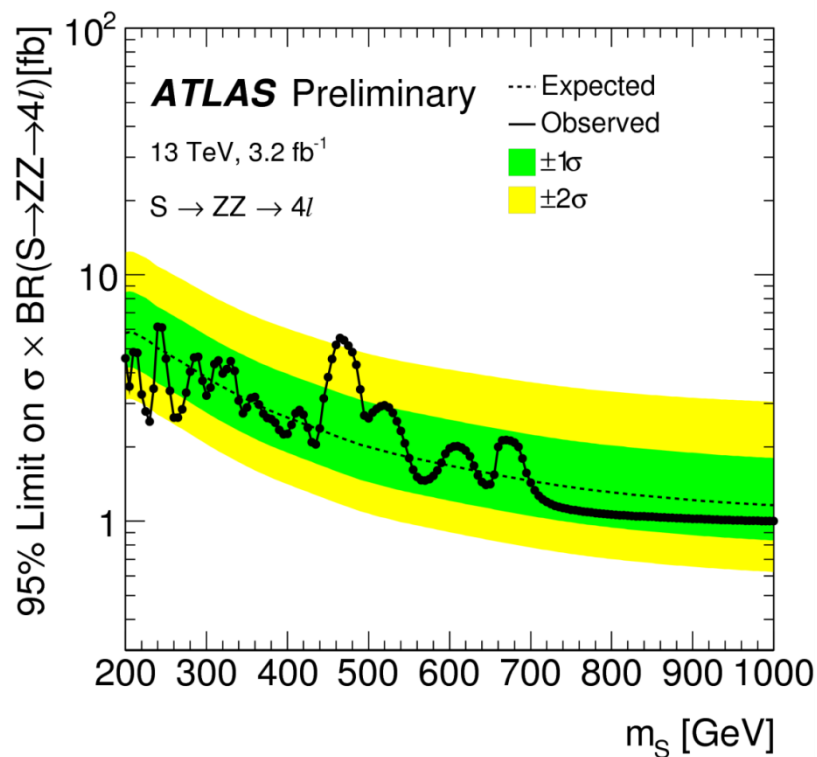
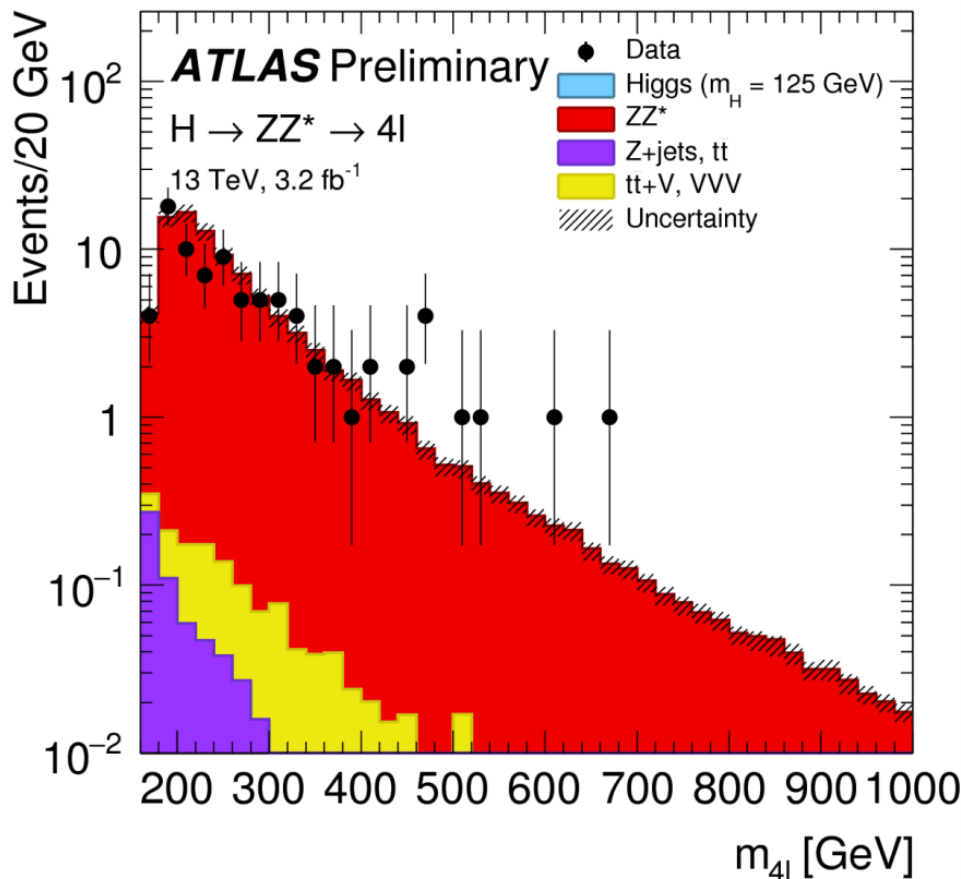


まとめると



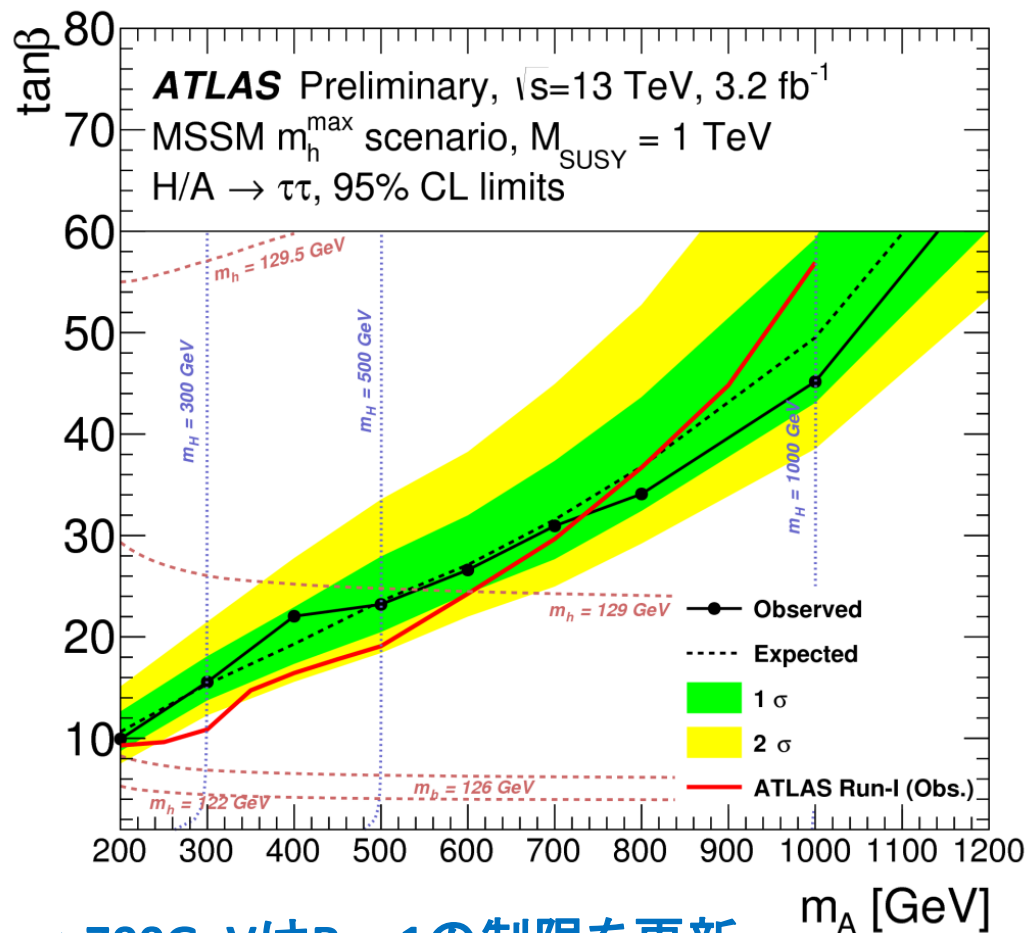
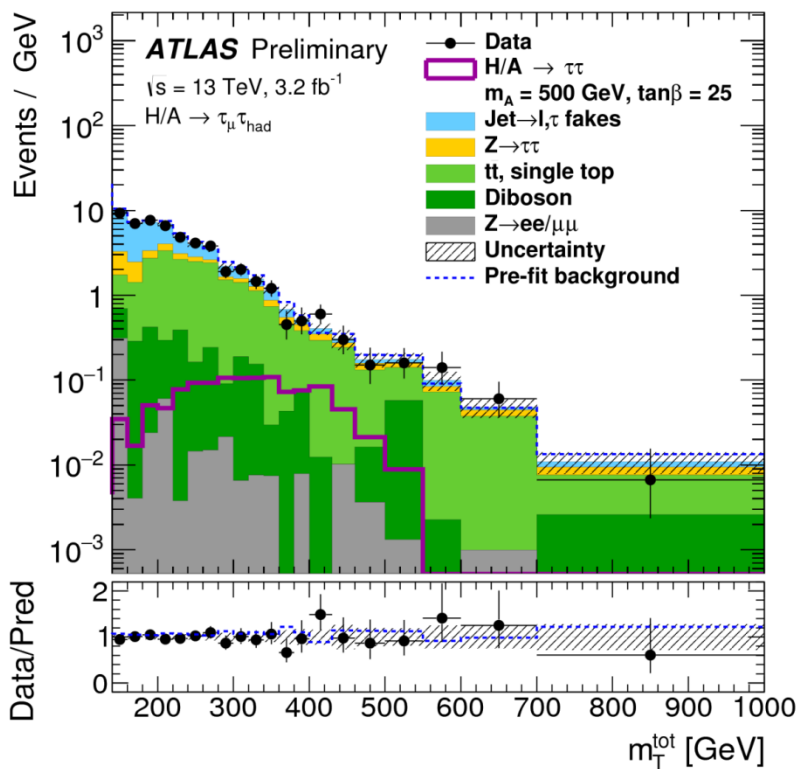
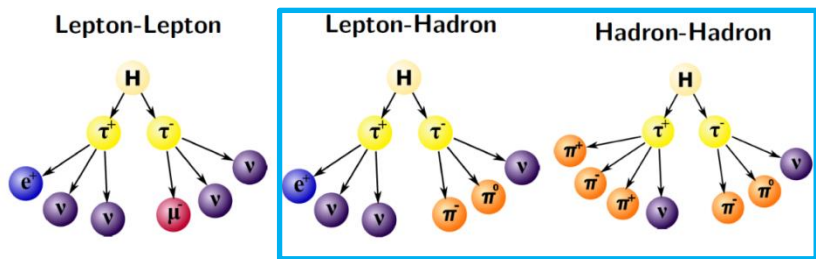
H → ZZ : High Mass resonance

- 探索領域を1TeVまで拡張 significantなexcessはなし
- $\sigma \times \text{BR}(s \rightarrow ZZ \rightarrow 4l)$ に対する95%CL limit を設定



MSSM $A \rightarrow \tau\tau$

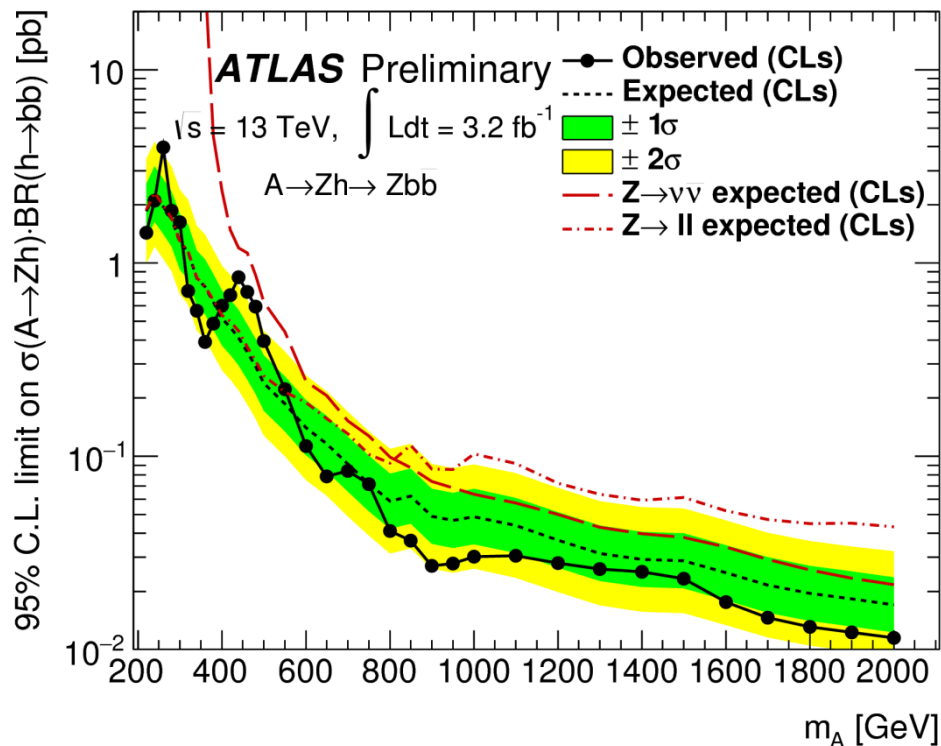
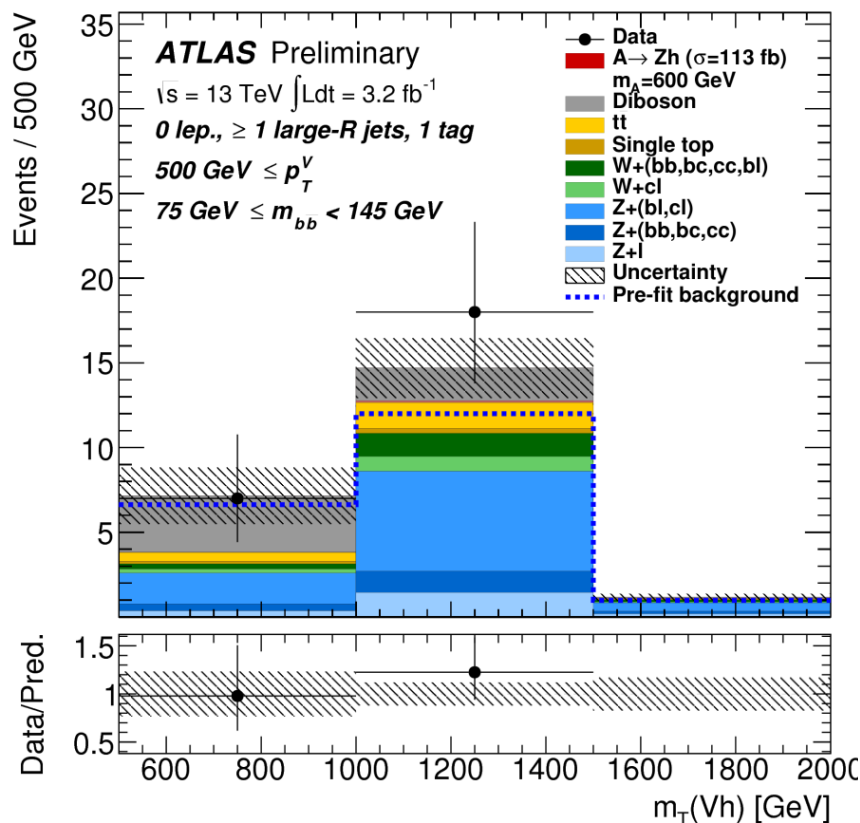
- SM Higgs $H \rightarrow \tau\tau$ はまだ感度がないが、MSSMは探索可能



>700GeVはRun1の制限を更新

MSSM $A \rightarrow Zh$

- 標準理論 $ZH \rightarrow llbb, \nu\nu bb$ 解析を High mass まで extend.
- $p_{TZ} > 500 \text{ GeV}$ は $H \rightarrow bb$ は 1 fat jet (boost) として解析

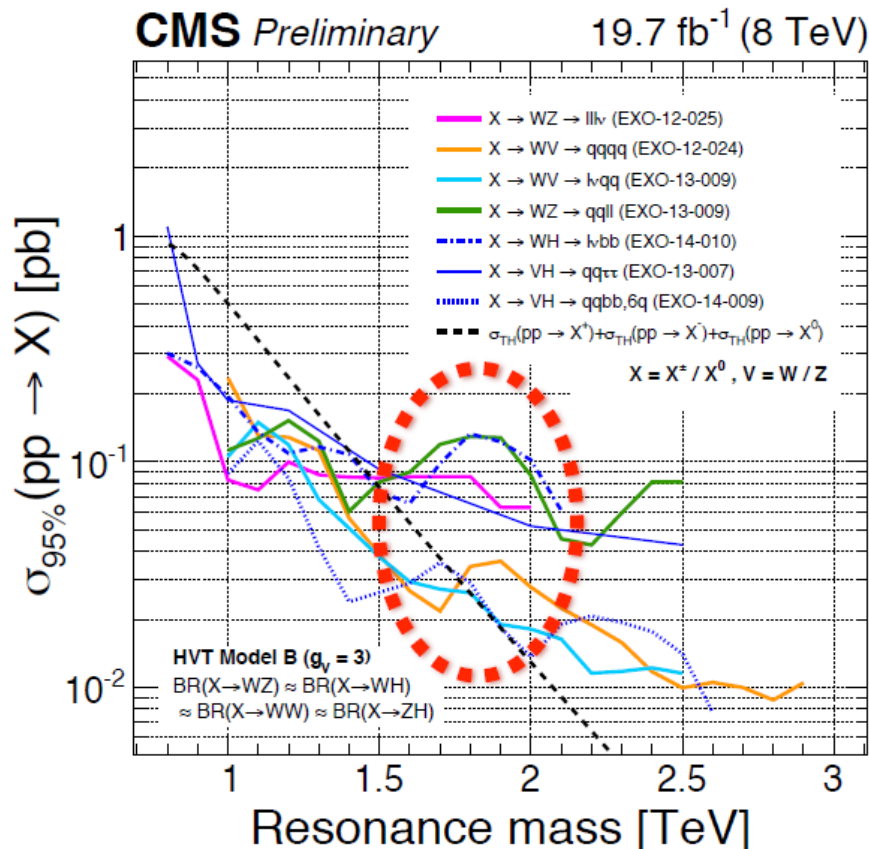
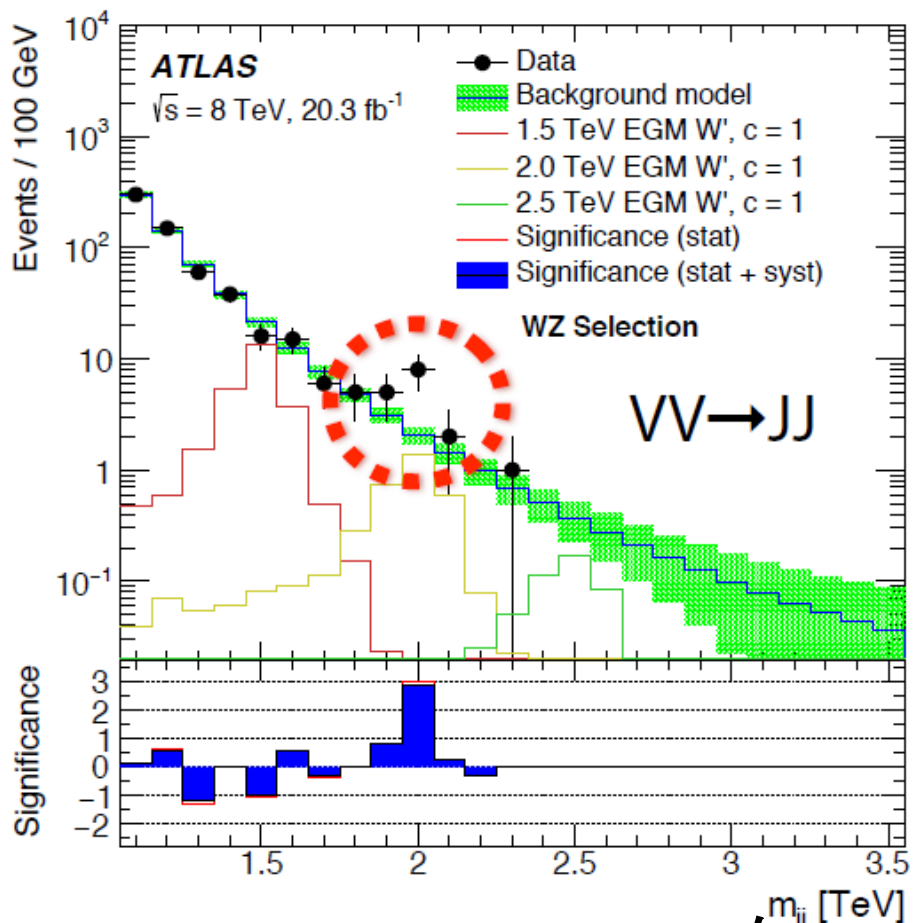


>800GeVはRun1の制限を更新

LHC 13TeVでの最新結果

- Higgs粒子の再探索
- VV や $\gamma\gamma$ に見つかった怪しい兆候
- SUSY/Exotic の探索

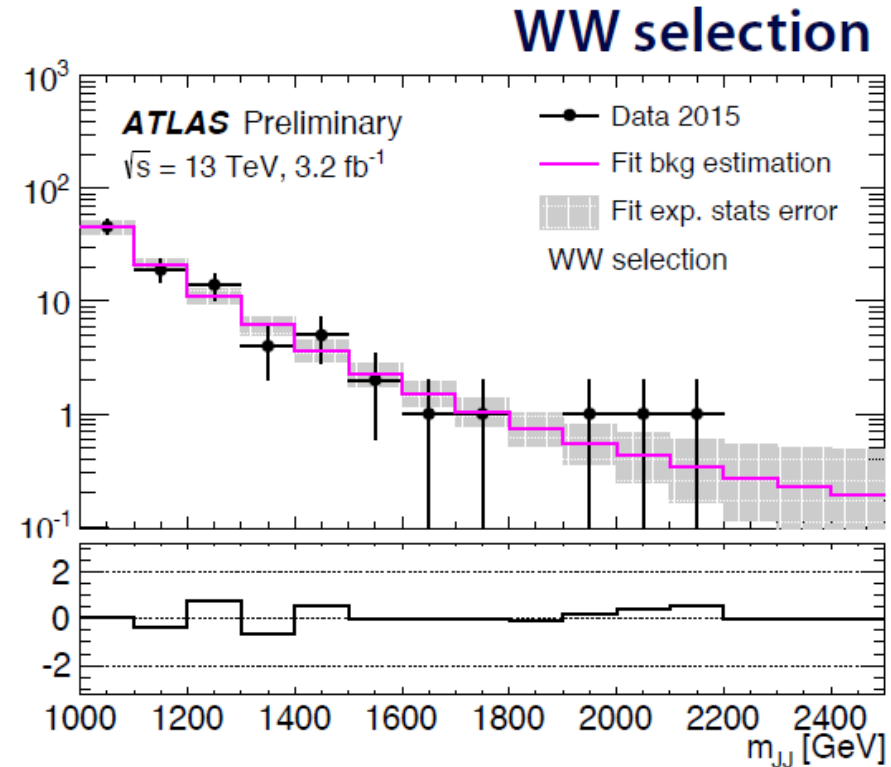
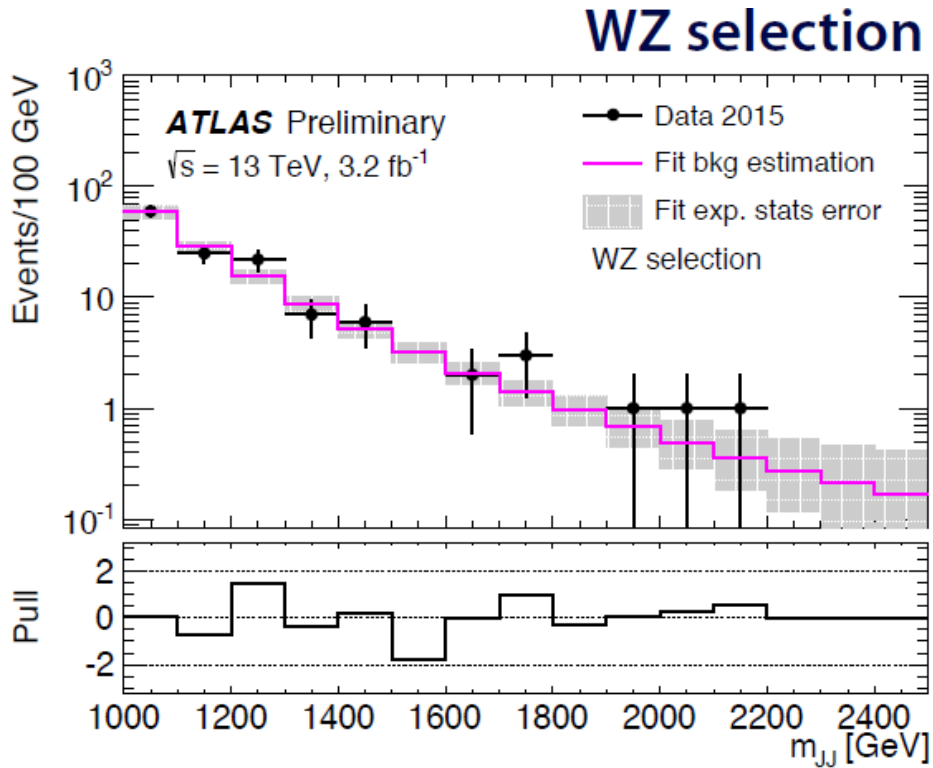
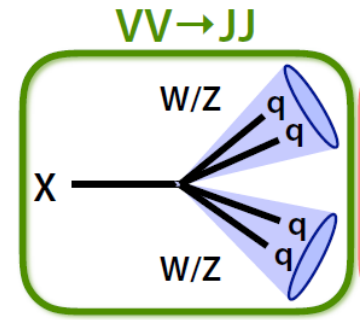
8TeV di-boson results



- Run1 (8TeV)のExcessを13TeVデータで検証する
- “J”はboost jet (2jet がマージ) → boost boson-tagging

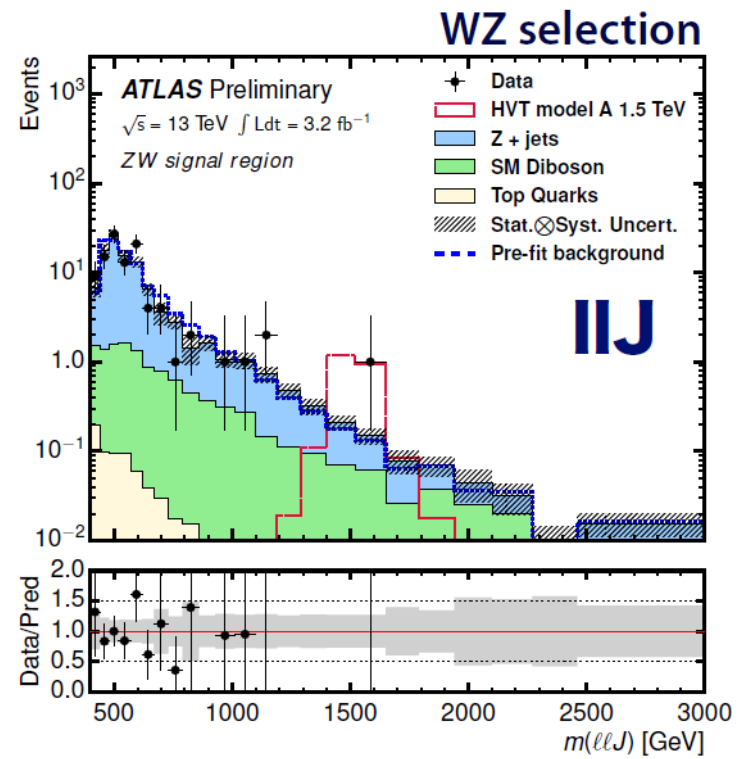
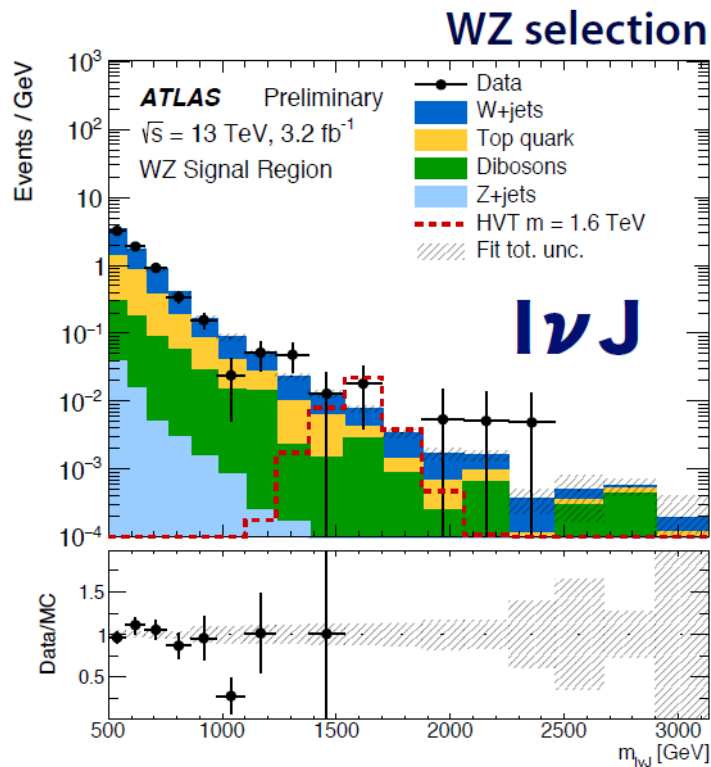
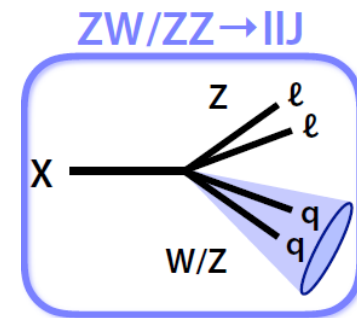
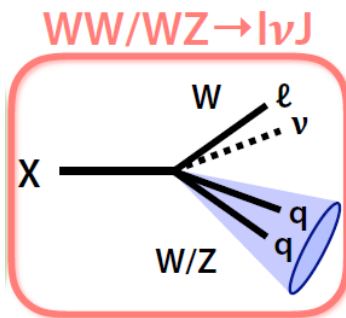
VV→JJ 探索 @ 13TeV

- 8TeVの解析を13TeVデータにアプライ。
- m_{qq} でWZ,WW,ZZ selectionを定義
→2TeVのexcessは無い様に見える...



VV → Leptonic decay

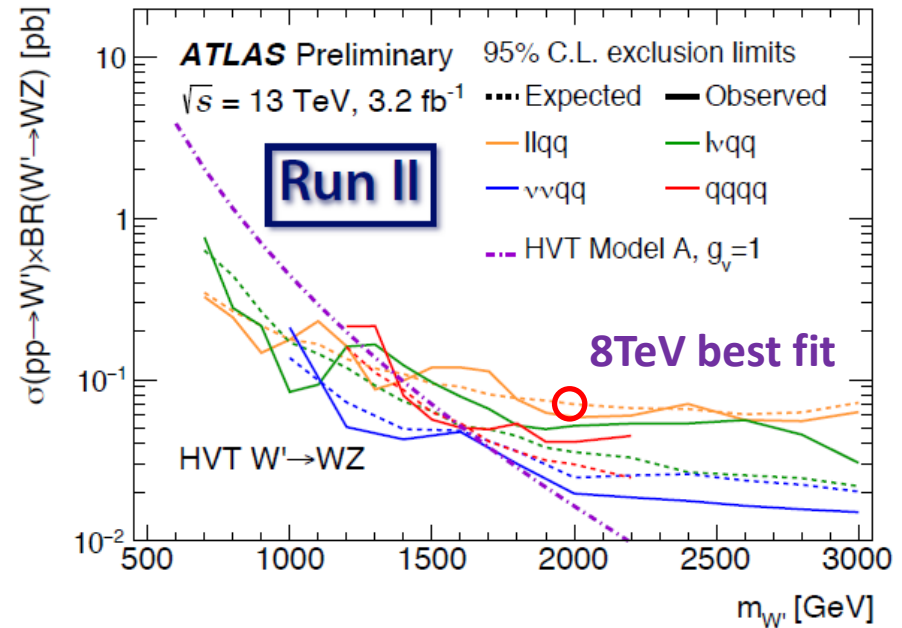
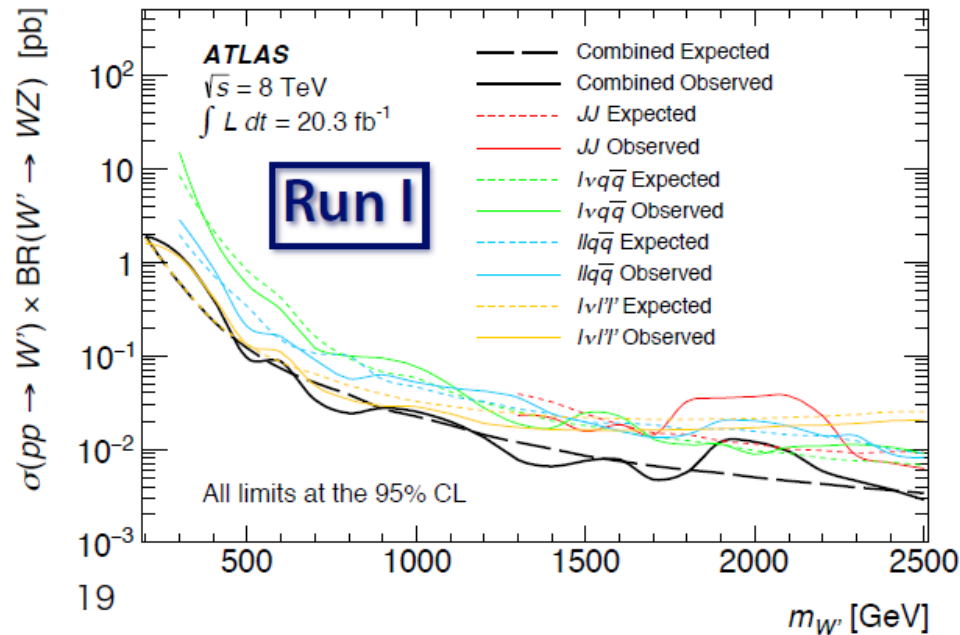
- VV → JJに加えて leptonic decay も解析
→ 有意な超過なし



8TeVの超過は棄却されたのか？

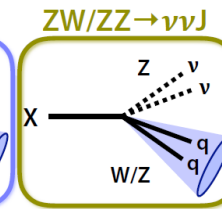
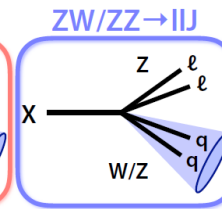
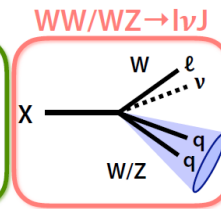
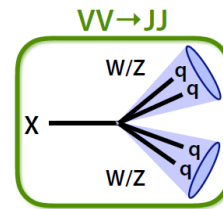
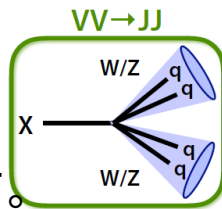
- 8TeVと13TeVで生成断面積が違うが、PDFを仮定して($qq \rightarrow X$ と $gg \rightarrow X$)extrapolateしてみると...

Best fit : $\sigma \times BR(W' \rightarrow WZ) \sim 7 \text{ fb @ } 2\text{TeV}$ ➔ 8→13TeV 10-15倍 : 70-100fb @ 2TeV

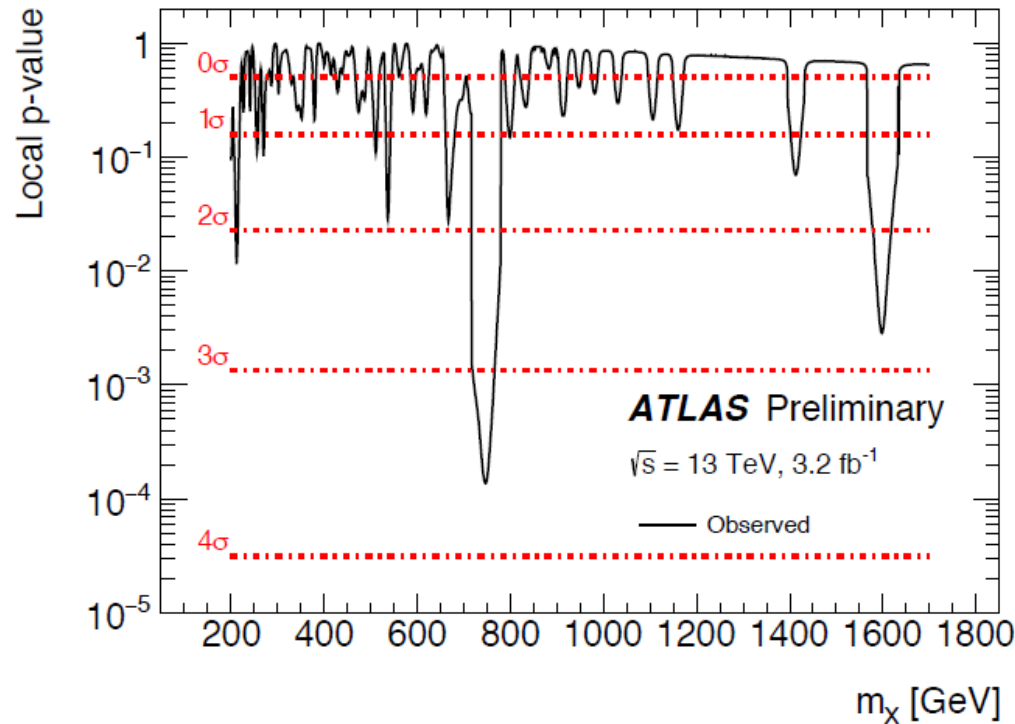
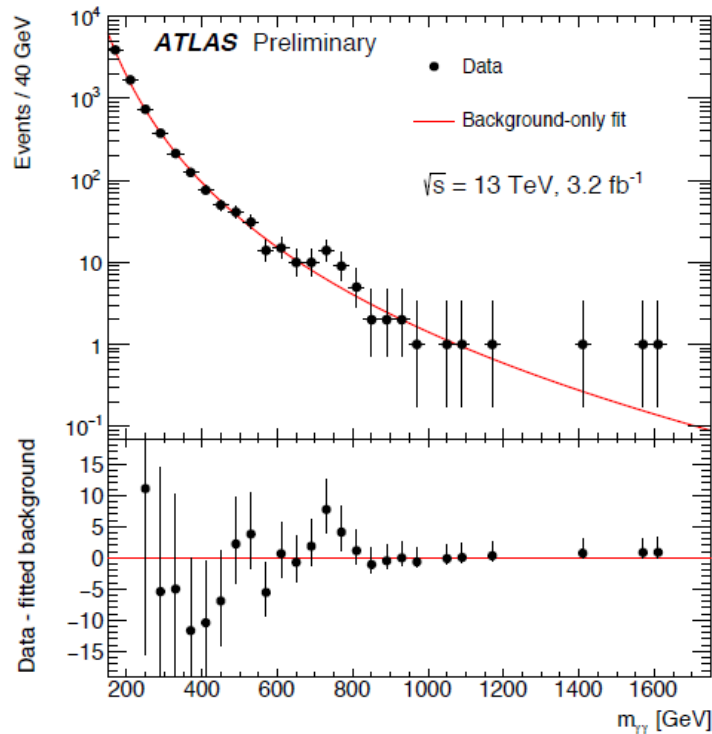


すでにExcludeした?!

→実際の数字はもうすぐです。

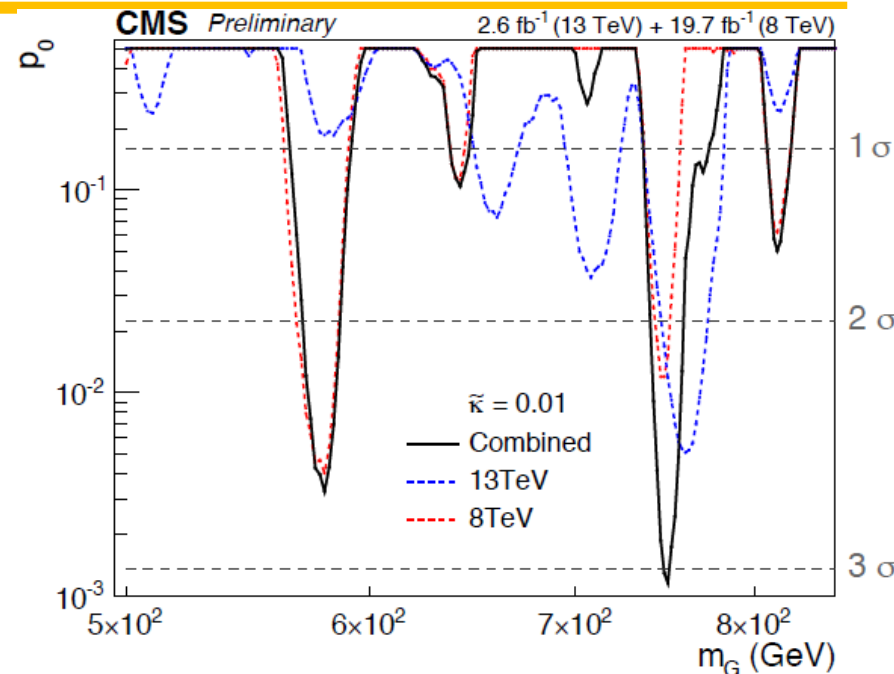
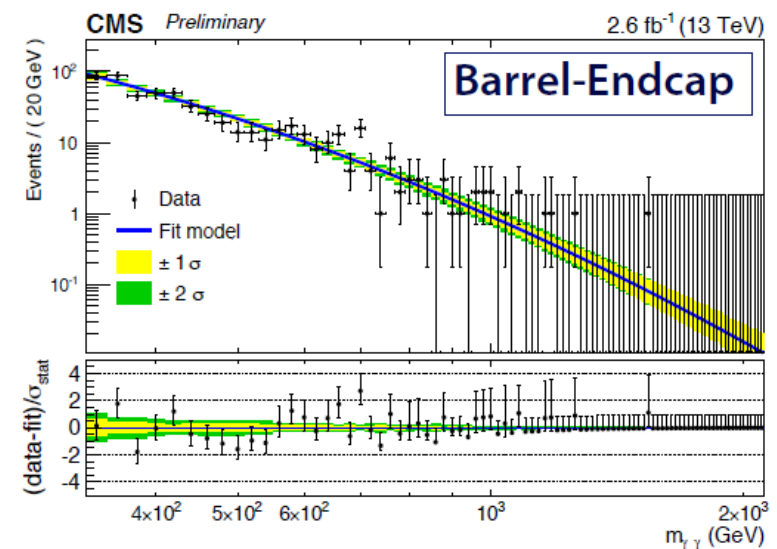
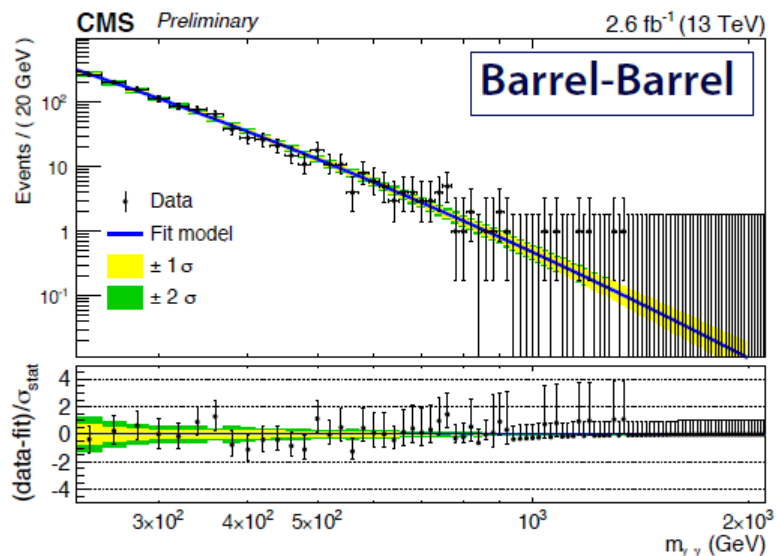


Di-Photon 探索 (Dec 2015)



- Di-boson (750GeV) \simeq local(global) 3.9(2.3) σ excess
- Width \simeq $\Gamma/m=6\%$ ($\Gamma=45\text{GeV}$)

Di-Photon 探索(CMS)



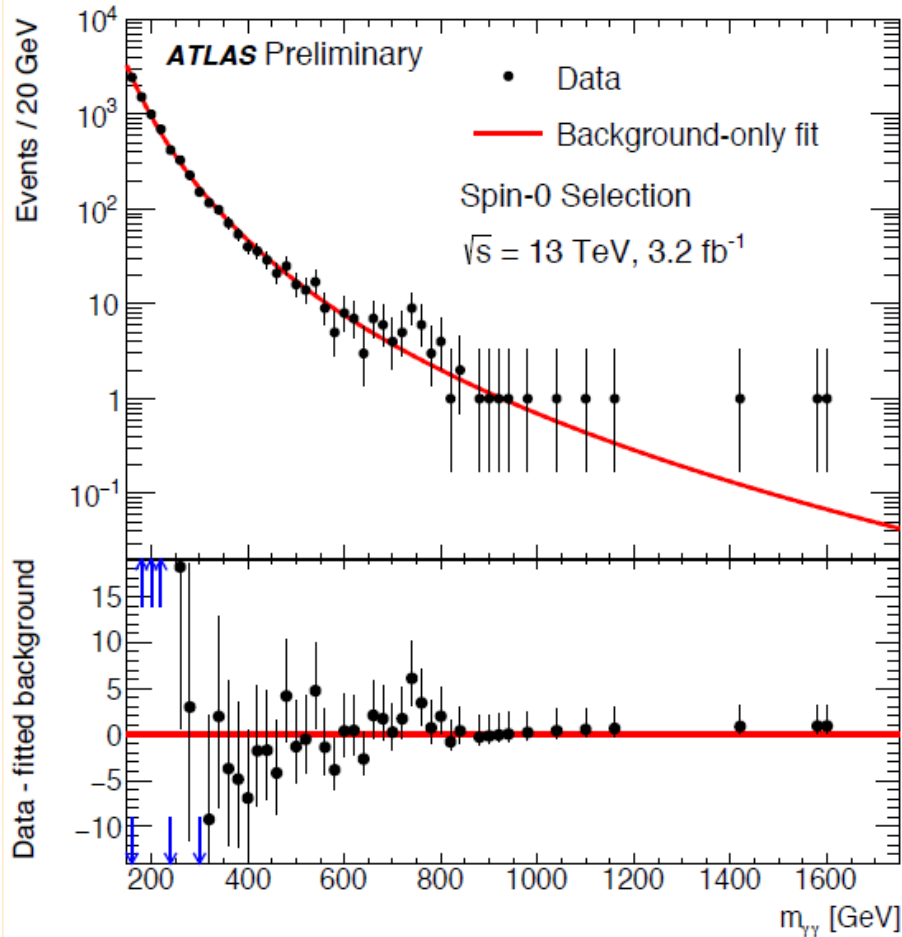
- Barrel-Barrel eventにExcess有 (Barrel-Endcapは微妙)
- 8TeVと13TeV両方にexcessが見られるがmassが少し違う。
- 13TeV : Local(global) 2.6(<1.2) σ @760GeV
- 8TeV : Local (global) 3.0(<1.7) σ @750GeV
for $\kappa/M_{Pl}=0.01$ (RS Graviton) i.e. narrow

再解析 for Moriond

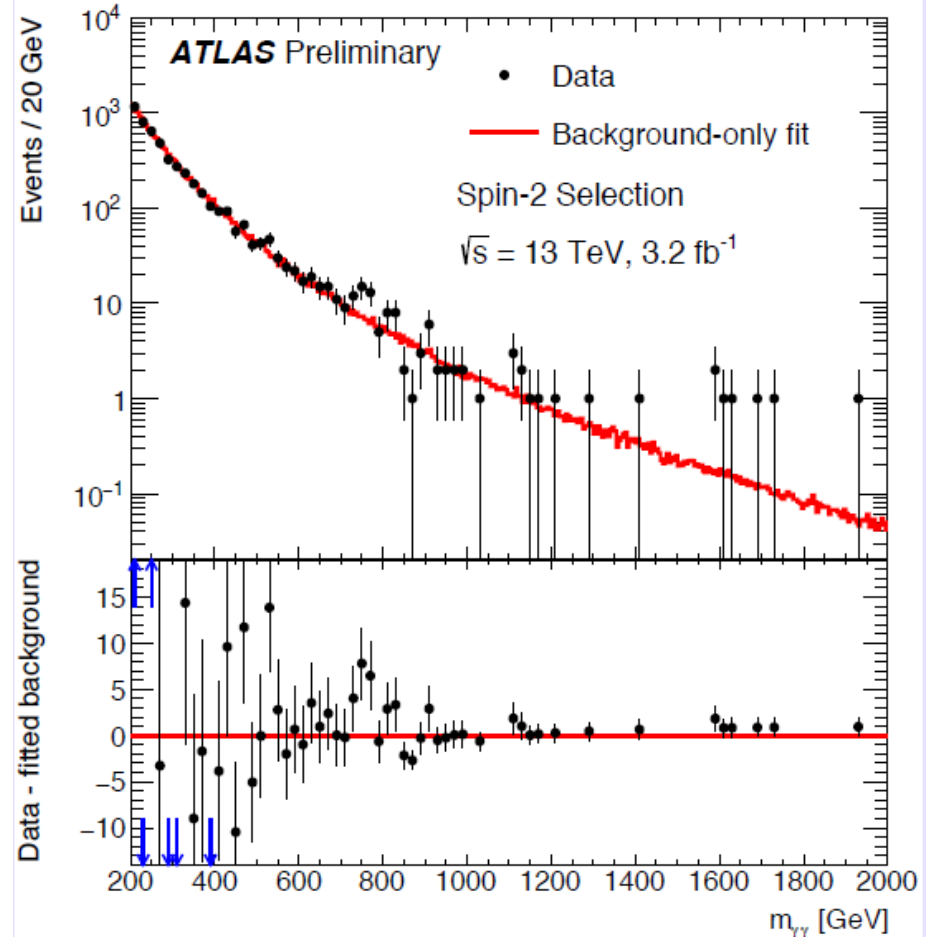
- Spin-0 Higgs解析とSpin-2 Graviton解析の二通り行った。
(Spin-2解析はもともと $>3\text{TeV}$ あたりをターゲットだった)
- 共通セレクション
 - Tight photon ID with Diphoton トリガー
- Spin0 Higgs解析
 - $E_T^{\gamma^{1(2)}} > 0.4(0.3)m_{\gamma\gamma}$
 - 750GeV で $E_T^{\gamma^1} > 300\text{GeV}$
- Spin2 Graviton解析
 - $E_T^{\gamma^{1,2}} > 55\text{GeV}$
 - Spin0よりlooseなカットでForward Eventにも高いアクセプタンス

再解析 for Moriond

- Spin-0 Higgs 解析

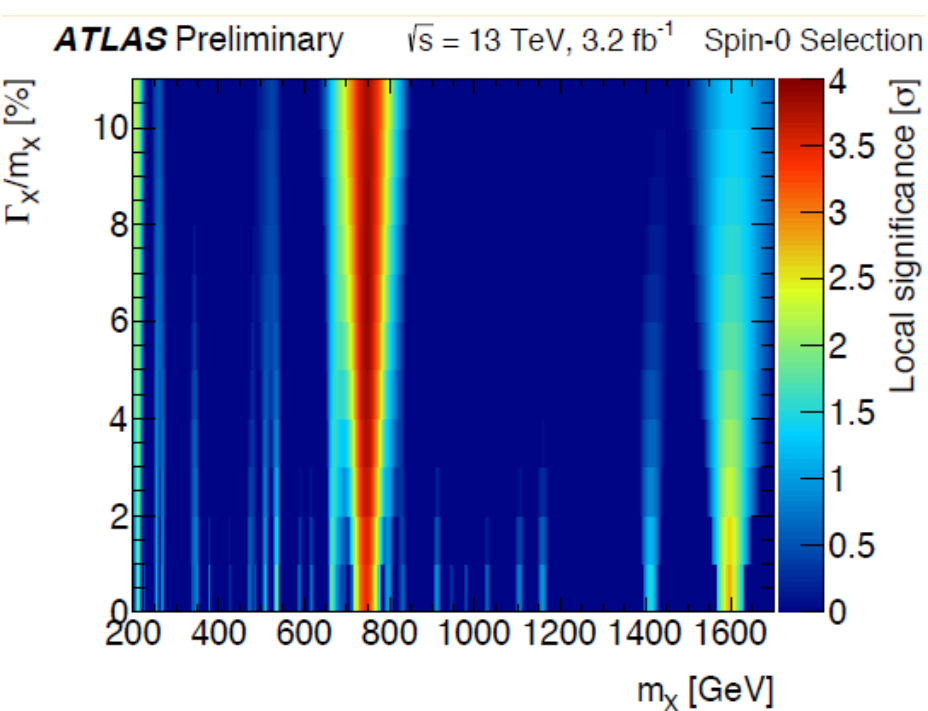


- Spin-2 Graviton 解析



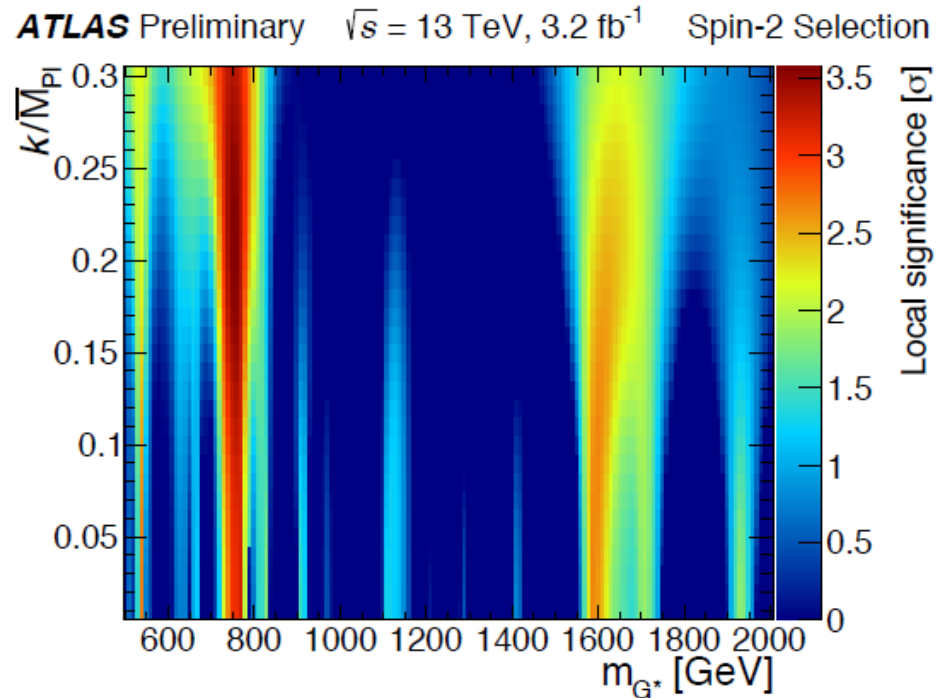
再解析 for Moriond

- Spin-0 Higgs 解析



Local (global) $3.9(2.0)\sigma$
@ 750GeV, $\Gamma/m=6\%$ ($\Gamma=45\text{GeV}$)

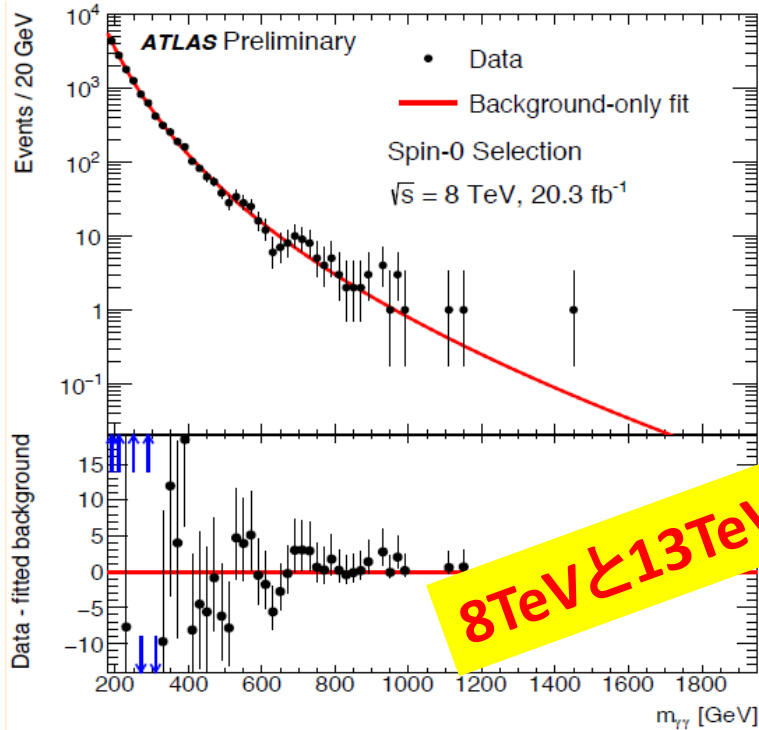
- Spin-2 Graviton 解析



Local (global) $3.6(1.8)\sigma$
@ 750GeV, $\Gamma/m=7\%$ ($\kappa/M_{\text{Pl}}=0.2$)

8TeV data 再解析

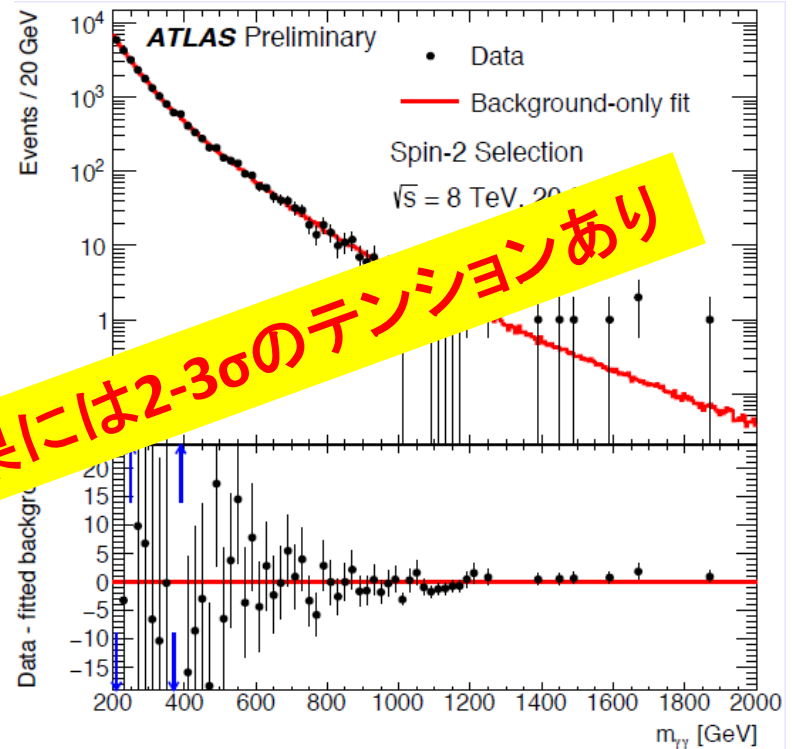
• Spin-0 Higgs 解析



8TeVと13TeVの結果には2-3 σ のテンションあり

Local 1.9σ @ 750GeV, $\Gamma/m=6\%$ ($\Gamma=45\text{GeV}$)
Compatibility with 13TeV
gg(qq) process 1.2(2.1) σ

• Spin-2 Graviton 解析



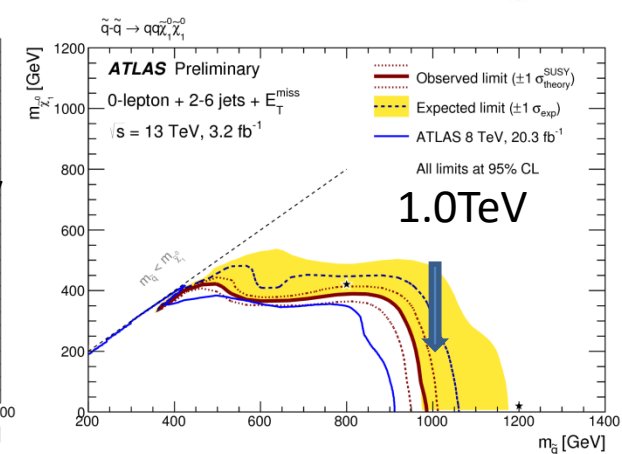
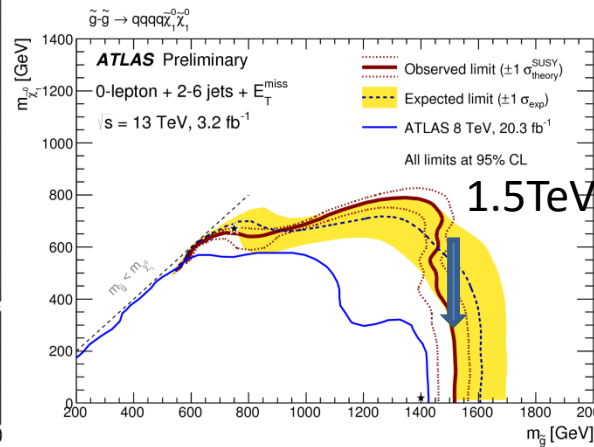
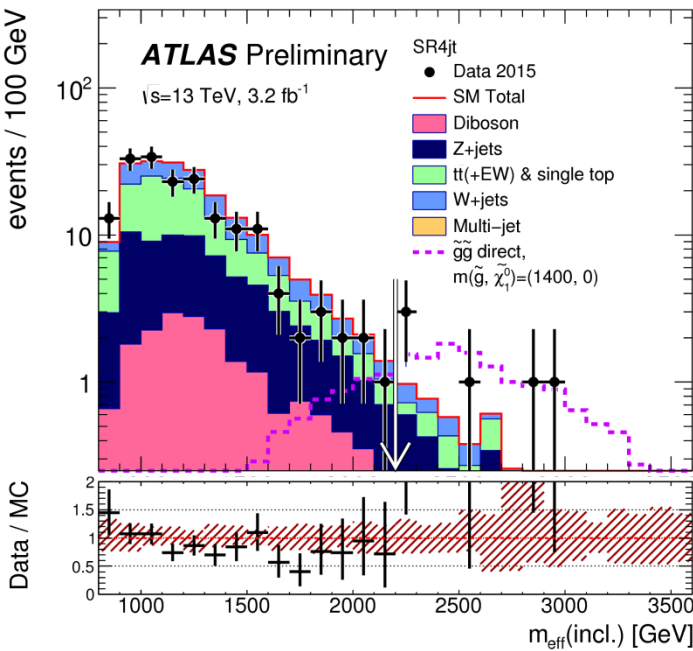
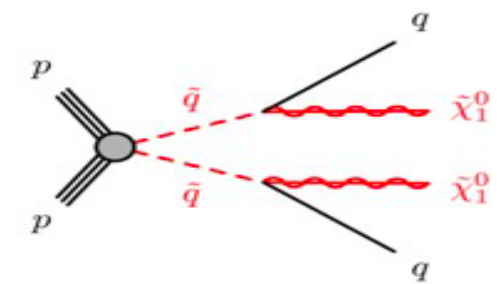
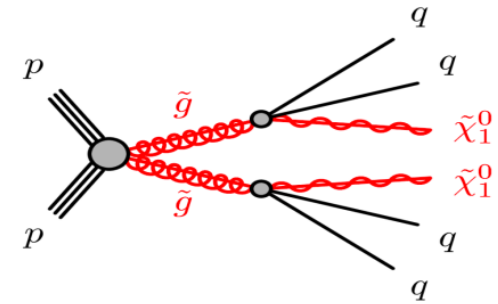
有意な兆候なし
Compatibility with 13TeV
gg(qq) process 2.7(3.3) σ

LHC 13TeVでの最新結果

- Higgs粒子の再探索
- VV や $\gamma\gamma$ に見つかった怪しい兆候
- SUSY/Exotic の探索

強い相互作用で生成するSUSY(1,2世代)

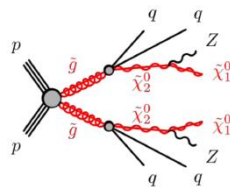
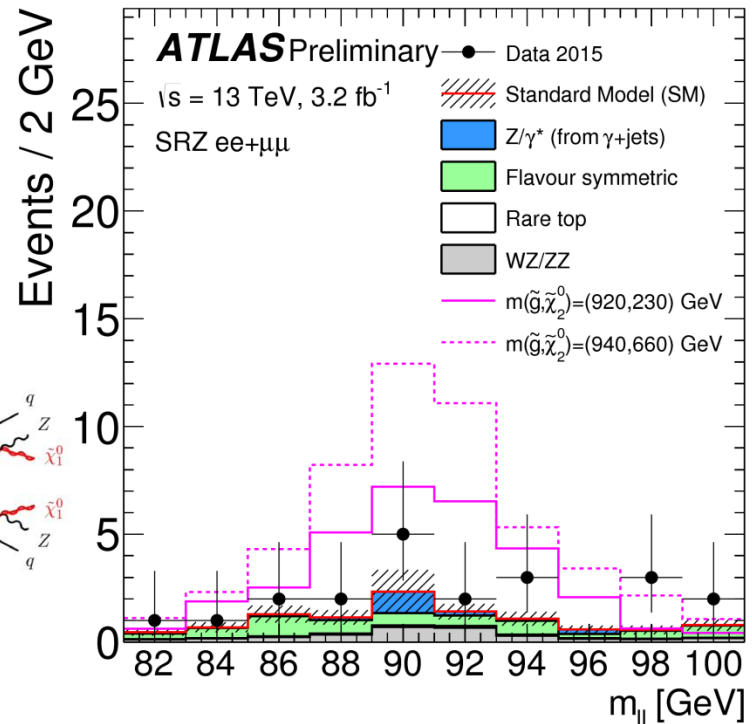
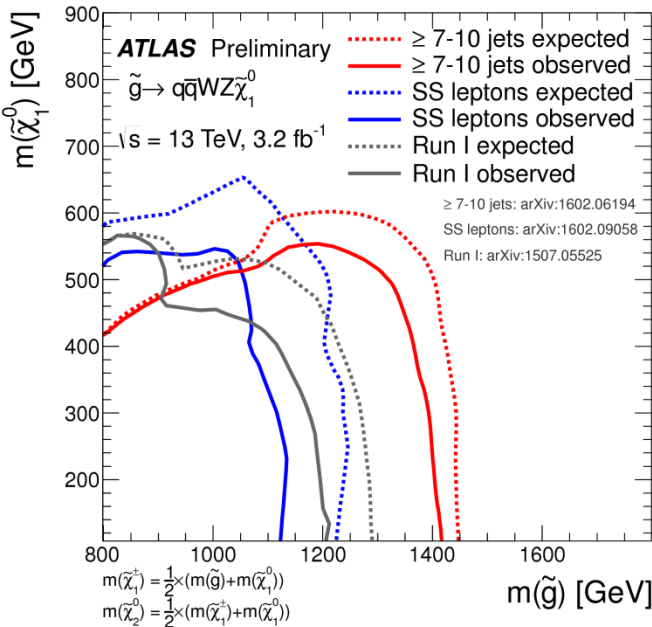
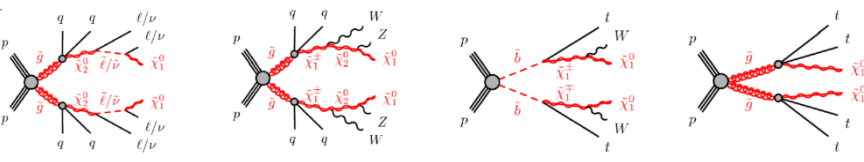
- 断面積が大きくコライダーのエネルギーが届けばすぐに見つかる。
- (2-6)Jets + large MET
- 背景事象はZ($\rightarrow\nu\nu$)+jets, Top



>=2 lepton channel

- 2 same-sign leptons
 - SM Bkgが少ない
 - Excessは観測されず

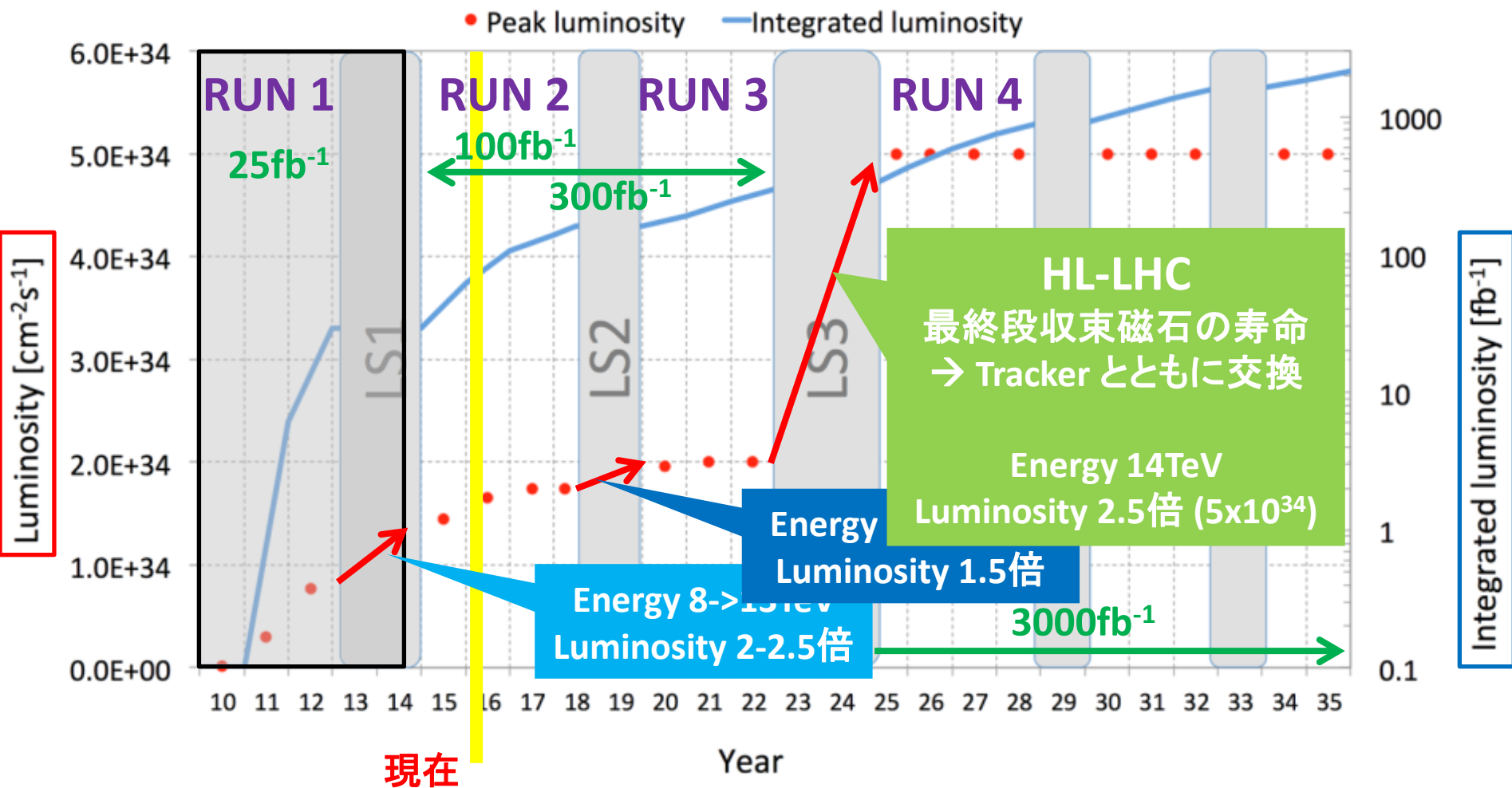
- 2 opposite-sign leptons
 - Zを伴うgluino/squark探索
 - Run1で3(1.7) σ for ee($\mu\mu$) の excess
 - Run2でも2.2 σ の超過を観測
 - 21事象 (bkg 10.3 ± 2.3)



Run2 から HL-LHC

アップグレード計画

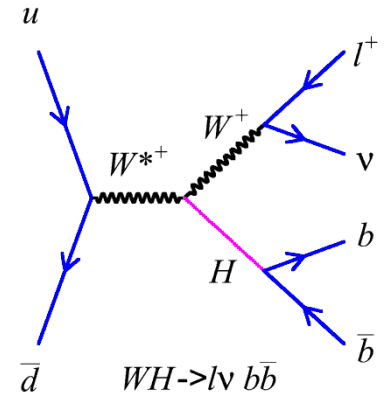
- ちょっと複雑ですが...



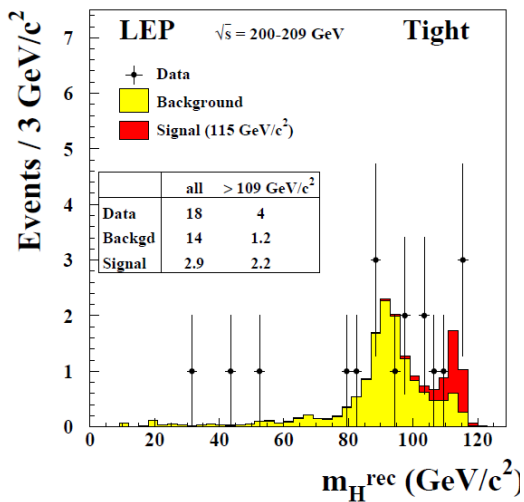
余談: ボトム湯川の話

- LEP II の最後 : 3事象のエクセス
- Tevatron Run II の最後 : 2.8σ @ 125GeV
- ATLAS Run I のFull data : 1.4σ (2.6σ exp.)

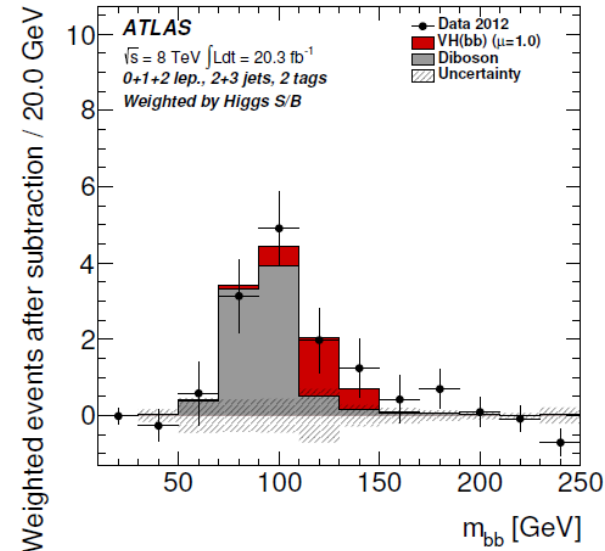
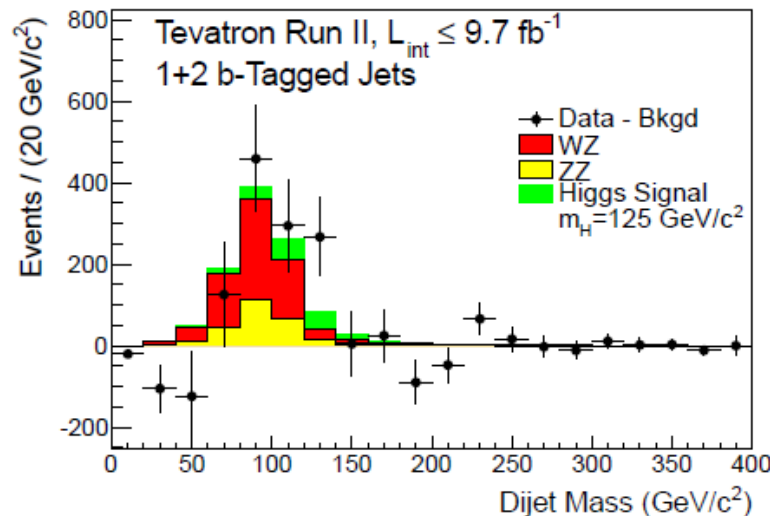
→ なぜか呪われたように見つからない...



1.7sigma @ 115GeV



2.8sigma @ 125GeV

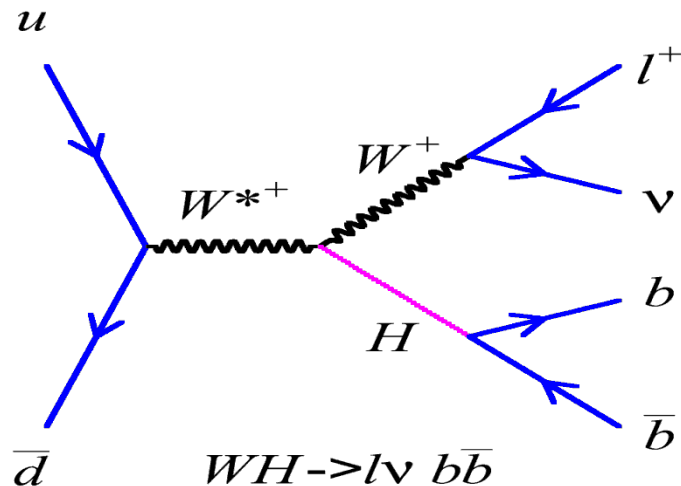


余談: ボトム湯川の話

• Yb @ 13/14TeV

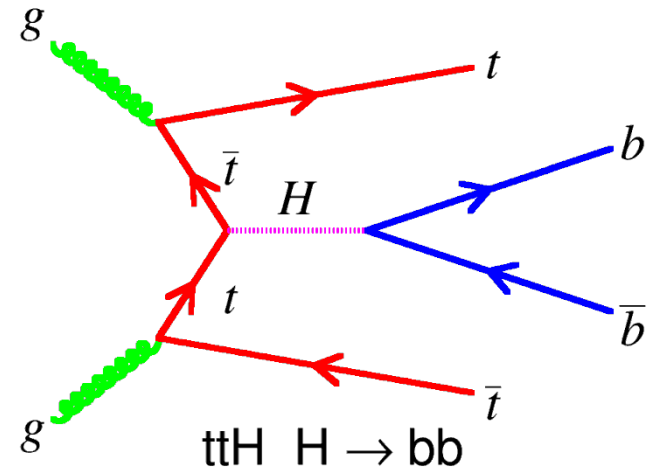
今までのVH, H->bb process

13TeV 10fb⁻¹のデータを加えれば
 7TeV+8TeV+13TeVで3σ(expected)
 但し、7+8TeVのobservedが低いので
 発見のクレームは2016年かも？



強力な助っ人

今まで断面積が小さくマイナーチャンネル
 だったが、3.9倍の断面積で追い上げ。
 13TeV 55fb⁻¹のデータで3σ(expected)
 発見のクレームは2016年？
 同時にトップ湯川の発見もクレーム！



2016年はボトム湯川の年になる！？

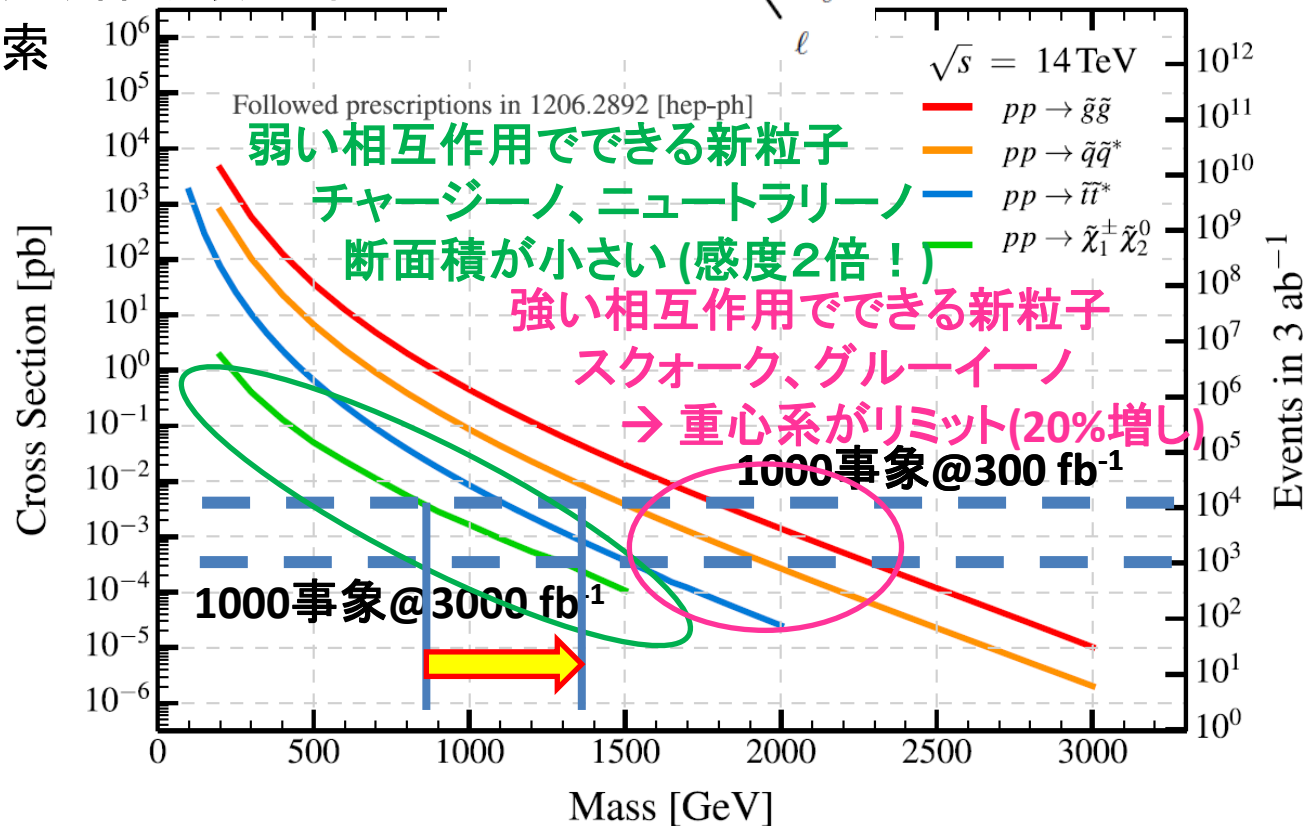
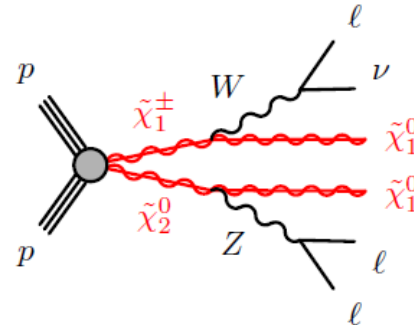
物理の背景：ルミノシティ

• 300 → 3000 fb⁻¹が必要か？

– 新しい物理

– ヒッグスの測定

- 結合定数の測定、稀崩壊の探索
- 自己結合の探索



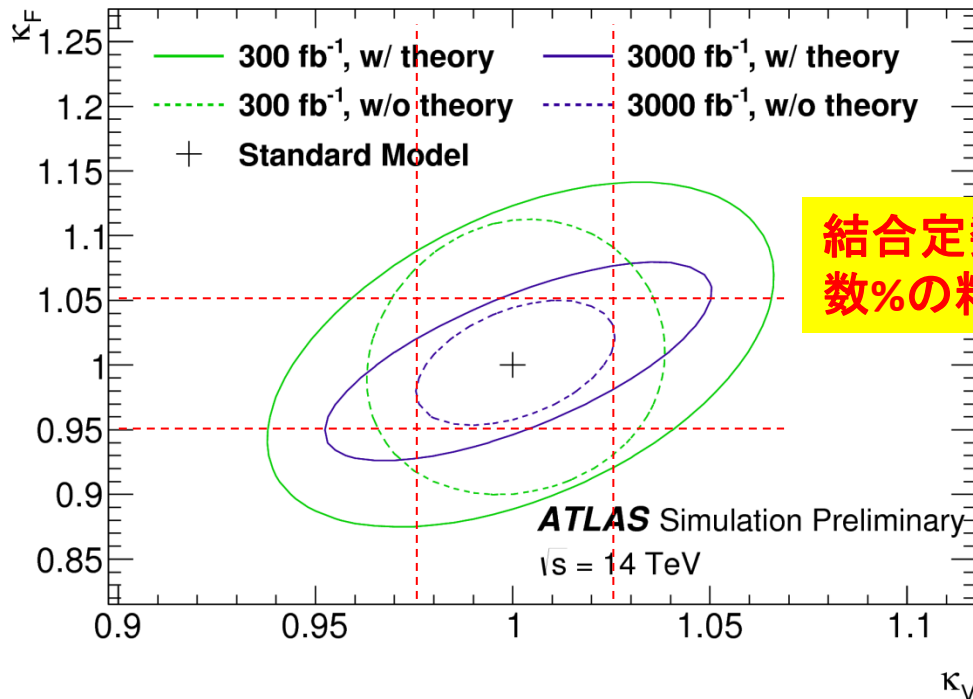
物理の背景：ルミノシティ

- 300 → 3000 fb⁻¹が必要か？

- 新しい物理

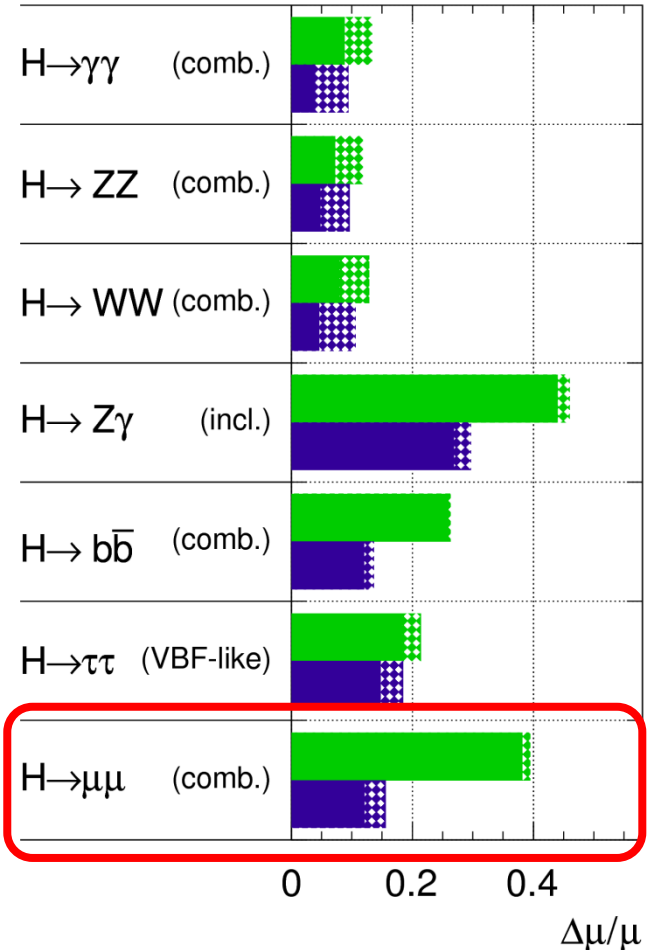
- ヒッグスの測定

- 結合定数の測定、稀崩壊の探索
- 自己結合の探索



ATLAS Simulation Preliminary

$\sqrt{s} = 14 \text{ TeV}$: $\int L dt = 300 \text{ fb}^{-1}$; $\int L dt = 3000 \text{ fb}^{-1}$



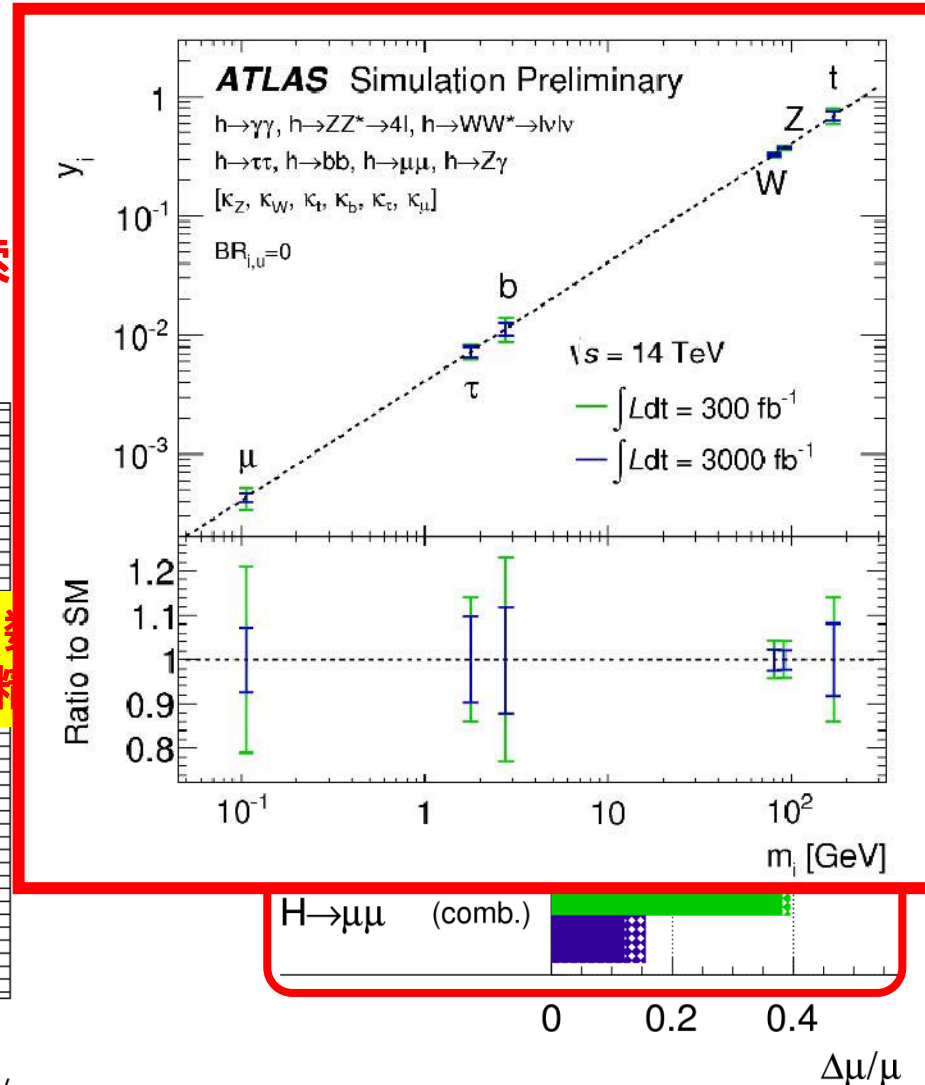
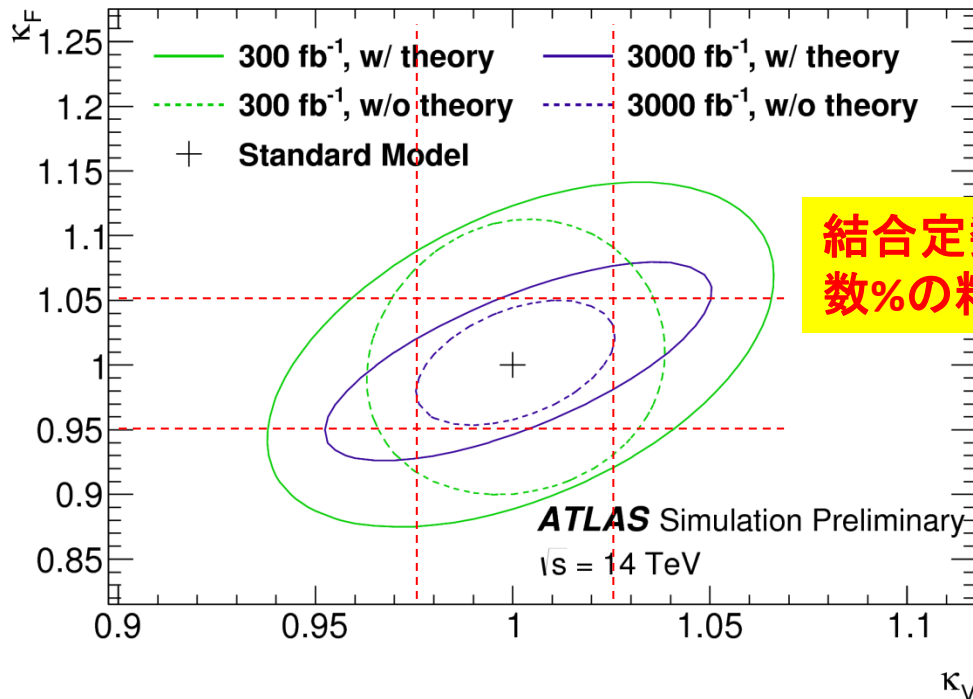
物理の背景：ルミノシティ

• 300 → 3000 fb⁻¹が必要か？

– 新しい物理

– ヒッグスの測定

- 結合定数の測定、稀崩壊の探索
- 自己結合の探索



物理の背景：ルミノシティ

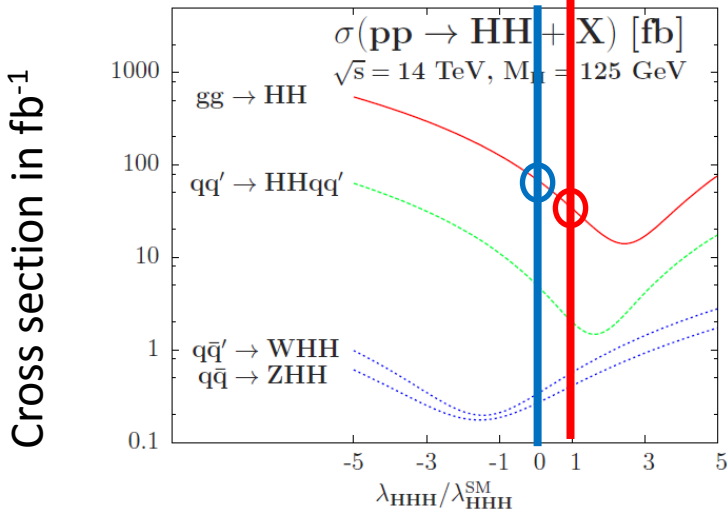
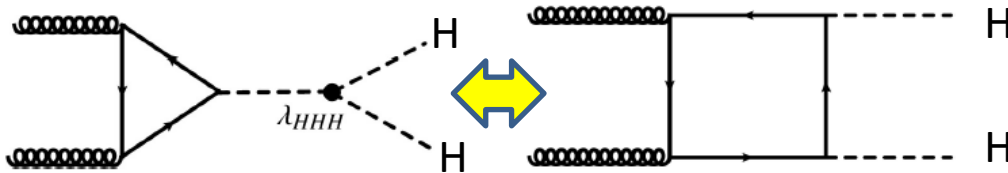
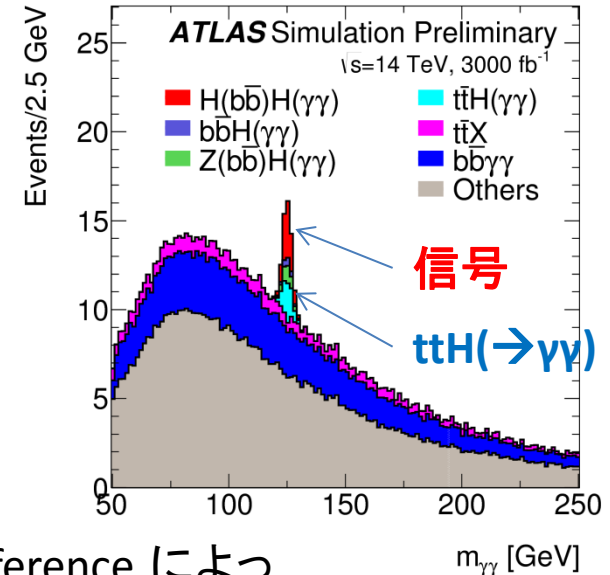
• 300 → 3000 fb⁻¹が必要か？

– 新しい物理

– ヒッグスの測定

- 結合定数の測定、稀崩壊の探索
- **自己結合の探索**

感度が高いのは $gg \rightarrow HH \rightarrow bb\gamma\gamma$



BoxとTriangleの間のinterference によって $pp \rightarrow HH$ の生成断面積が大きく変わる。
 $\sigma(\text{HHH無})/\sigma(\text{HHH有}) \sim 2$

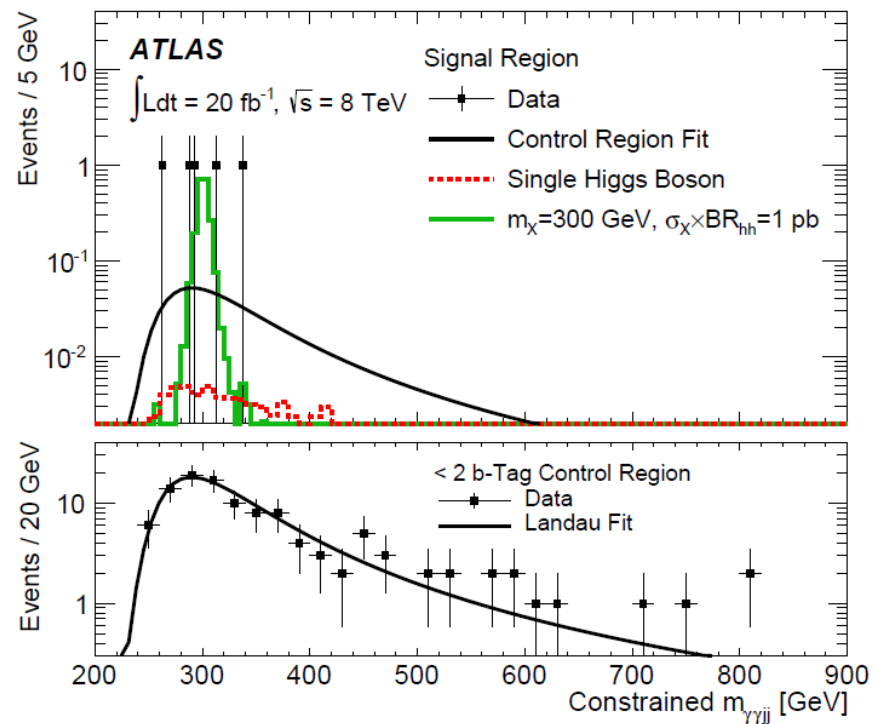
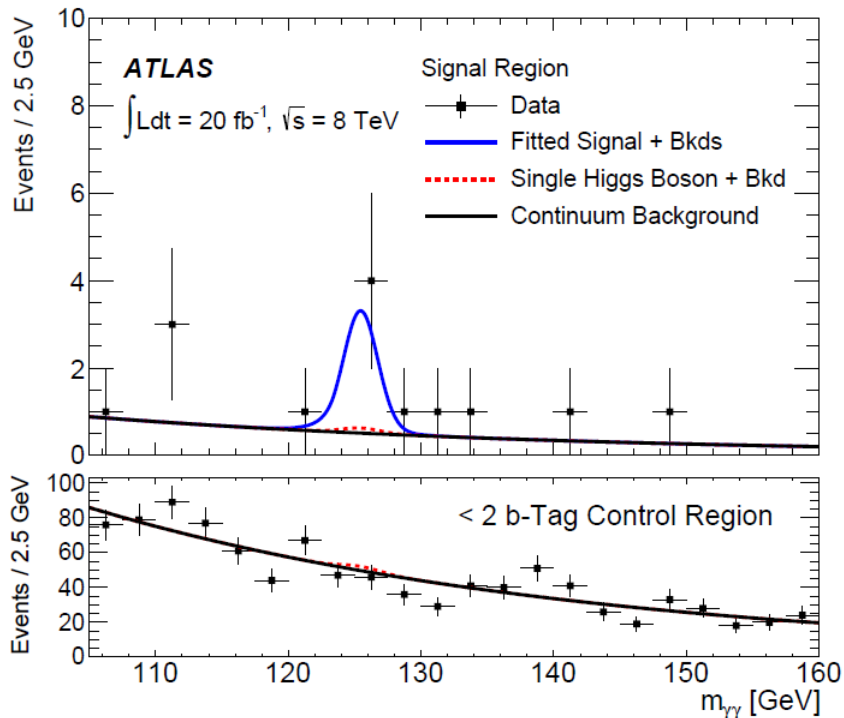
	$gg \rightarrow HH$ σ [fb ⁻¹] @ 14TeV
$\lambda_{HHH}/\lambda_{HHH}^{SM} = 1$	34 fb ⁻¹
$\lambda_{HHH}/\lambda_{HHH}^{SM} = 0$	71 fb ⁻¹
$\lambda_{HHH}/\lambda_{HHH}^{SM} = 2$	16 fb ⁻¹

**$gg \rightarrow HH \rightarrow bb\gamma\gamma$ だけで
 1.3 σ (SM HHの時)
 → $\lambda_{HHH} = 0$ を棄却/兆候
 → 改善する
 → 他崩壊を足して 3σ**

Run 1の結果から – 自己結合の探索

• $HH \rightarrow \gamma\gamma bb$ 探索

- bb 選択後の $\gamma\gamma$ 質量分布に4事象の excess
- 2.4σ の excess ($\sigma \sim 1\text{pb}$ くらい、 $\sigma_{HH} = 34\text{fb}^{-1}$ の30倍)
- $M_{\gamma\gamma jj} \sim 300\text{GeV}$ くらいの resonance にも見えなくはない。



現在は...

あれはやはり新粒子
なんじゃないか？

26th March, 2016

Theory WS @ Matsue

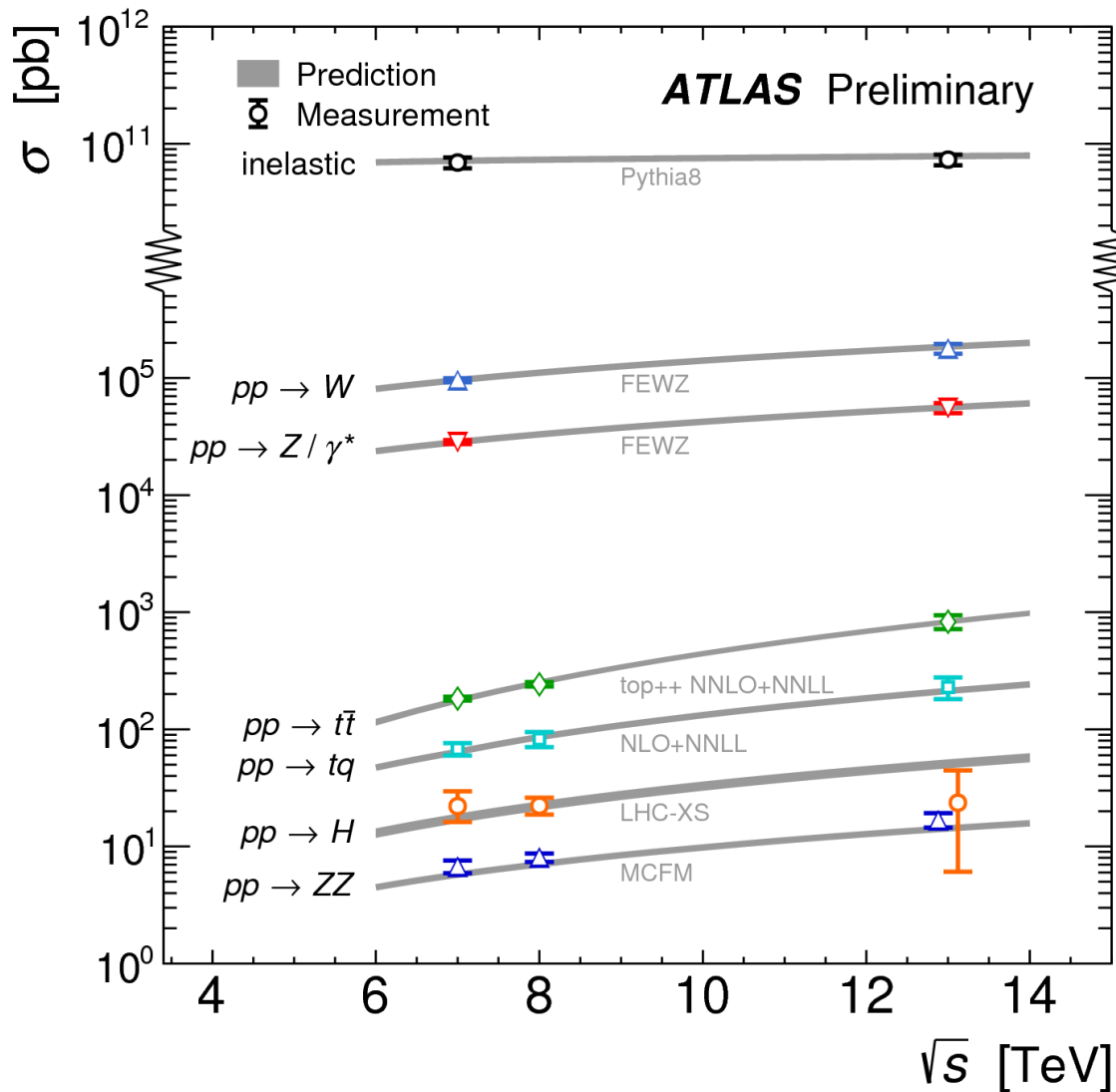
来年度には...



すぐに明らかになるさ。

あれはやはり新粒子
なんじゃないか？

backup



- \square inelastic
 7 TeV, $20 \mu\text{b}^{-1}$, Nat. Commun. 2, 463 (2011)
 13 TeV, $63 \mu\text{b}^{-1}$, ATLAS-CONF-2015-038
- \triangle $pp \rightarrow W$
 7 TeV, 36pb^{-1} , PRD 85, 072004 (2012)
 13 TeV, 85pb^{-1} , ATLAS-CONF-2015-039
- ∇ $pp \rightarrow Z/\gamma^*$
 7 TeV, 36pb^{-1} , PRD 85, 072004 (2012)
 13 TeV, 85pb^{-1} , ATLAS-CONF-2015-039
- \diamond $pp \rightarrow t\bar{t}$
 7 TeV, 4.6fb^{-1} , Eur. Phys. J. C 74:3109 (2014)
 8 TeV, 20.3fb^{-1} , Eur. Phys. J. C 74:3109 (2014)
 13 TeV, 78pb^{-1} , ATLAS-CONF-2015-049
- \square $pp \rightarrow tq$
 7 TeV, 4.6fb^{-1} , PRD 90, 112006 (2014)
 8 TeV, 20.3fb^{-1} , ATLAS-CONF-2014-007
 13 TeV, 3.2fb^{-1} , ATLAS-CONF-2015-079
- \square $pp \rightarrow H$
 7 TeV, 4.5fb^{-1} , arXiv:1507.04548
 8 TeV, 20.3fb^{-1} , arXiv:1507.04548
 13 TeV, 3.2fb^{-1} , ATLAS-CONF-2015-069
- \triangle $pp \rightarrow ZZ$
 7 TeV, 4.6fb^{-1} , JHEP 03, 128 (2013)
 8 TeV, 20.3fb^{-1} , ATLAS-CONF-2013-020
 13 TeV, 3.2fb^{-1} , arXiv:1512.05314

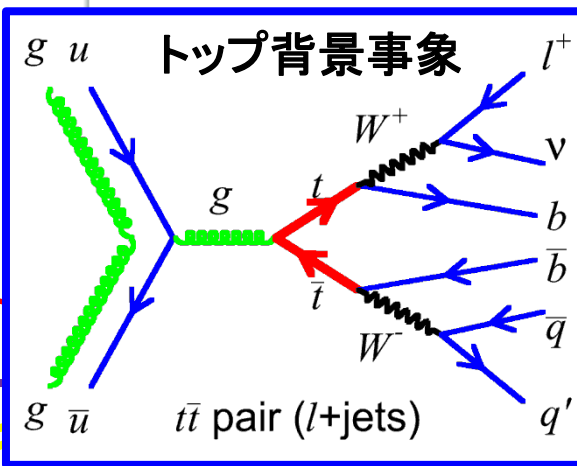
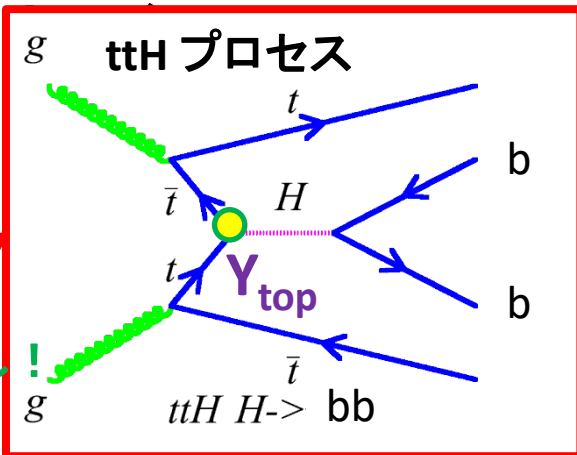
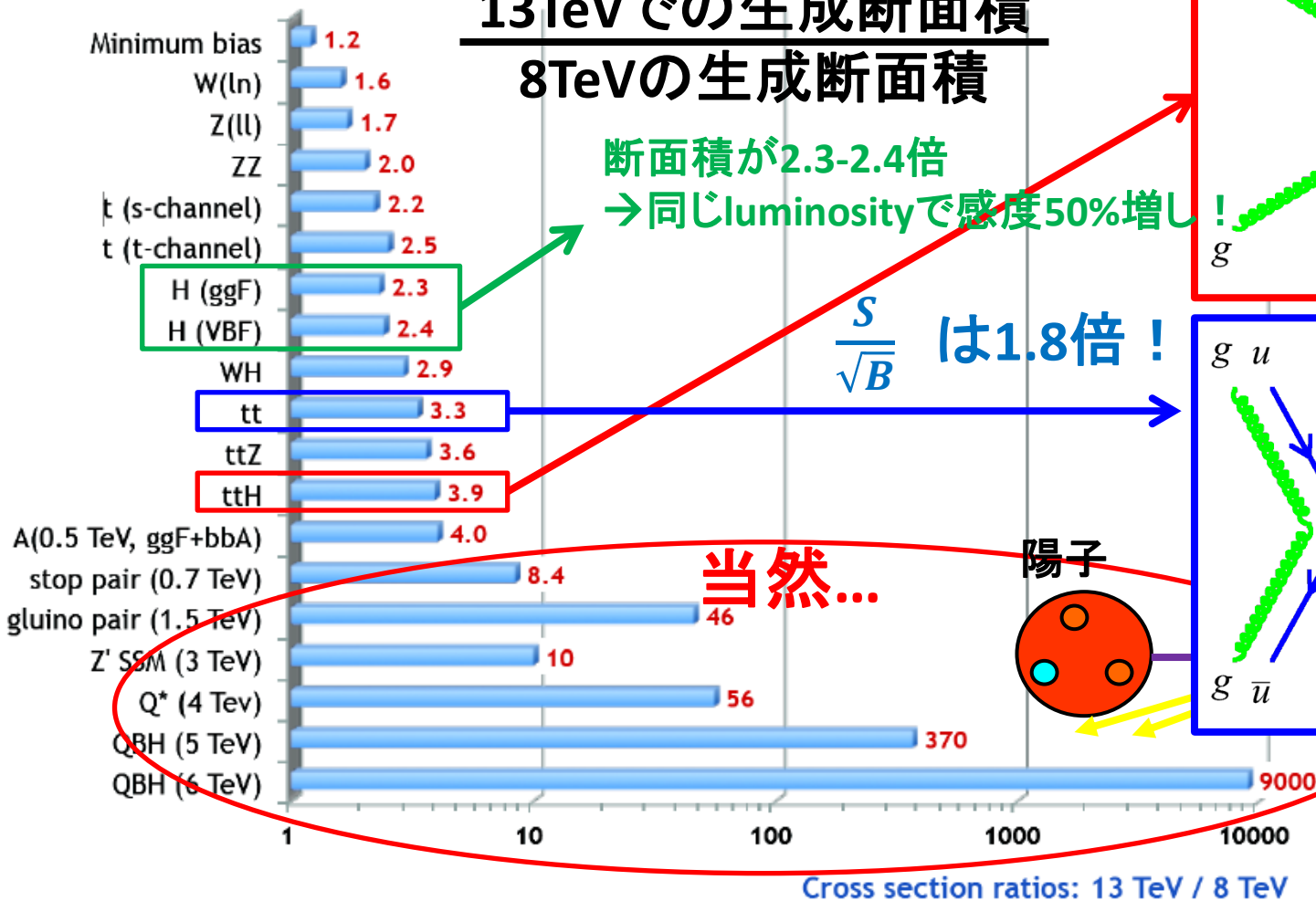
13TeVの恩恵

- エネルギーを8TeVから13(14)TeVに

13TeVでの生成断面積
8TeVの生成断面積

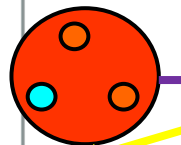
断面積が2.3-2.4倍
→同じluminosityで感度50%増し

$\frac{S}{\sqrt{B}}$ は1.8倍!



当然...

陽子

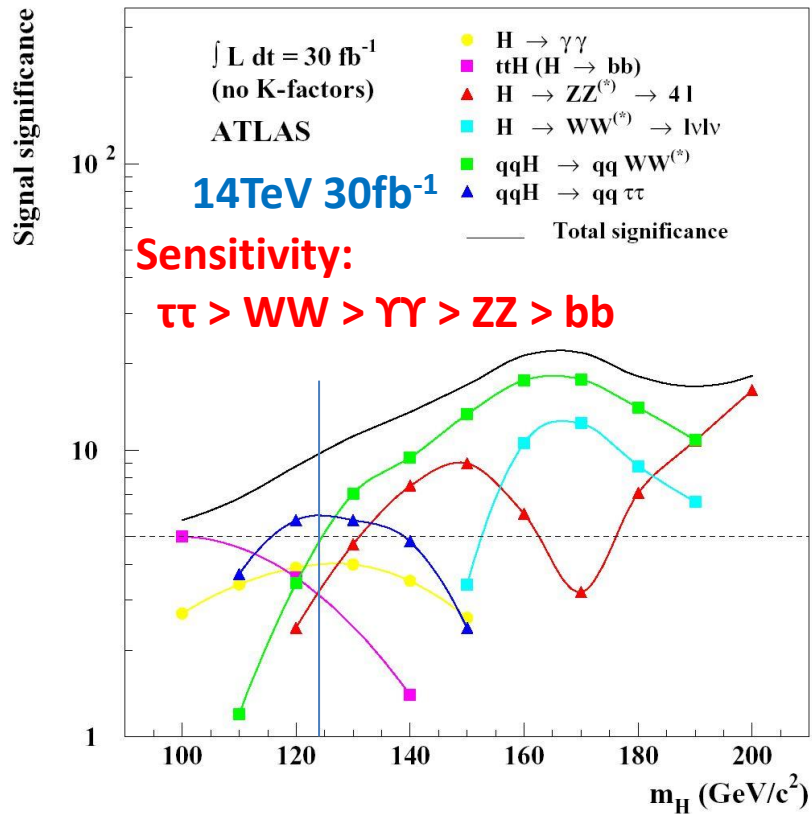


詳細は陣内さん

Sensitivity for each channel

Before experiment...

arXiv:hep-ph/0402254



ATLAS 2011+2012 Full data
 $5\text{fb}^{-1}(7\text{TeV})+20\text{fb}^{-1}(8\text{TeV})$

Decay channel	Expected sensitivity	Observed Sensitivity
ggF,(VBF): $H \rightarrow ZZ$	6.2σ	8.1σ
ggF,VBF: $H \rightarrow \gamma\gamma$	4.6σ	5.2σ
ggF,VBF: $H \rightarrow WW$	5.8σ	6.1σ
(ggF),VBF: $H \rightarrow \tau\tau$	3.4σ	4.5σ
VH, $H \rightarrow bb$	2.6σ	1.4σ
$H \rightarrow \mu\mu$	<7.2xSM	<7.0xSM
ttH: $H \rightarrow bb$	<2.2xSM	<3.4xSM

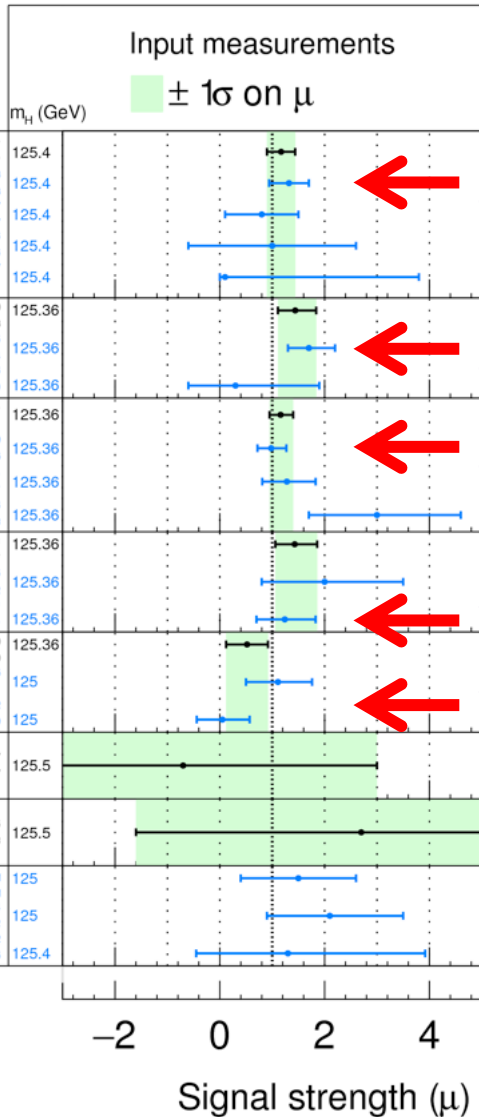
実験前の予想はあまりあてにならないが...

予想よりかなり良い結果！！

Summary of individual results.

ATLAS

Individual analysis



Combined

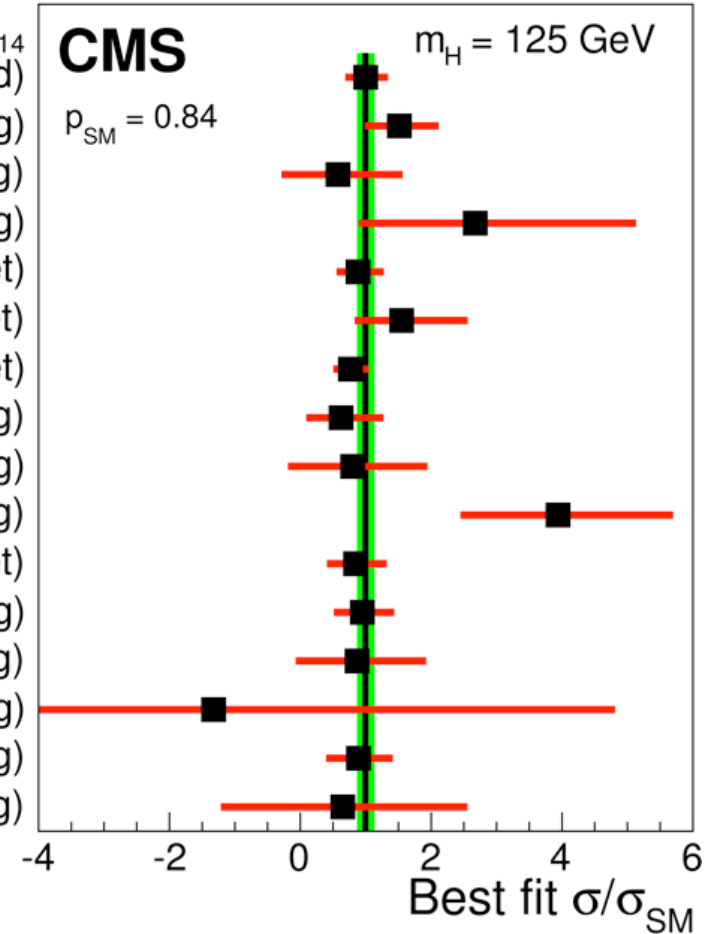
- $\mu = 1.00 \pm 0.14$
- $H \rightarrow \gamma\gamma$ (untagged)
 - $H \rightarrow \gamma\gamma$ (VBF tag)
 - $H \rightarrow \gamma\gamma$ (VH tag)
 - $H \rightarrow \gamma\gamma$ (ttH tag)
 - $H \rightarrow ZZ$ (0/1-jet)
 - $H \rightarrow ZZ$ (2-jet)
 - $H \rightarrow WW$ (0/1-jet)
 - $H \rightarrow WW$ (VBF tag)
 - $H \rightarrow WW$ (VH tag)
 - $H \rightarrow WW$ (ttH tag)
 - $H \rightarrow \tau\tau$ (0/1-jet)
 - $H \rightarrow \tau\tau$ (VBF tag)
 - $H \rightarrow \tau\tau$ (VH tag)
 - $H \rightarrow \tau\tau$ (ttH tag)
 - $H \rightarrow bb$ (VH tag)
 - $H \rightarrow bb$ (ttH tag)

19.7 fb⁻¹ (8 TeV) + 5.1 fb⁻¹ (7 TeV)

CMS

$p_{SM} = 0.84$

$m_H = 125$ GeV



$\sqrt{s} = 7$ TeV, 4.5-4.7 fb⁻¹

$\sqrt{s} = 8$ TeV, 20.3 fb⁻¹

Higgsの前に... SM process

Standard Model Production Cross Section Measurements

Status: Nov 2015

